



**BABAR**

# Mesure de l'angle $\gamma$ du triangle d'unitarité de la matrice CKM auprès de l'expérience BaBar

Emmanuel LATOUR

Unitarity triangle

Séminaire CPPM

25 Mars 2008

## → Violation de $CP$

- *Description dans Modèle Standard – Formalisme CKM*
- *Triangle d'unitarité et mesure de ses paramètres*

## → Mesure directe de l'angle $\gamma$ : $B^\pm \rightarrow D^{(*)}K^{(*)\pm}$

## → Mesure indirecte: $\sin(2\beta+\gamma)$ avec les $B^0$

## → Perspectives

- Usines à B
- LHC
- Au-delà

## Violation de $CP$

Mesure de  $\gamma$  avec les  $B^\pm$

Mesure de  $\sin(2\beta + \gamma)$  avec les

$B^0$

Perspectives sur la mesure de  $\gamma$

## Violation de $CP$ dans le Modèle Standard

Enjeux de la violation de  $CP$

Accès expérimental au triangle d'unitarité

Connaissances actuelles du triangle

d'unitarité

# Symétrie $CP$

$C = \text{opérateur de conjugaison de charge}$     $P = \text{opérateur de parité}$

$$X(m, \vec{J}, Q) \rightarrow \bar{X}(m, \vec{J}, -Q)$$

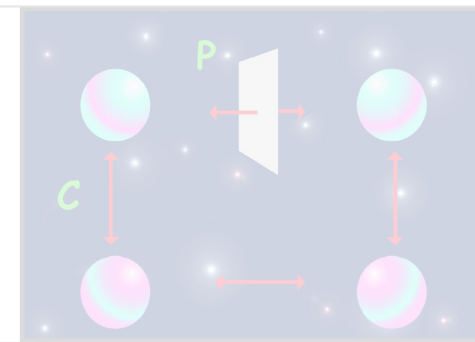
$$(\vec{x}, t) \rightarrow (-\vec{x}, t)$$

→ Nombres quantiques  
agit sur état interne de la particule

$$\vec{p} \rightarrow -\vec{p}$$

$$\vec{l} \rightarrow \vec{l}$$

agit sur observables liées à l'espace



- 1964: Mise en évidence expérimentale (Observation de  $K_L \rightarrow \pi^+ \pi^-$ )
- 1999: Violation de  $CP$  directe dans le système des mésons  $K$
- 2001: Violation de  $CP$  dans le système des mésons  $B$

	Fermions		
	Quarks	Leptons chargés	Leptons neutres
haut/up	u (yellow)	c (green)	t (blue)
bas/down	d (orange)	s (light green)	b (purple)
électron	e (yellow)	μ (green)	τ (blue)
neutrino électron	$\nu_e$ (yellow)	$\nu_\mu$ (green)	$\nu_\tau$ (blue)
neutrino muon			
neutrino tauon			

⇒ Dans le **secteur des quarks**

Modèle Standard, secteur électrofaible  
secteur QCD (strong  $CP$  problem)

Cadre de ce séminaire

⇒ Dans le **secteur des leptons**

Oscillations de ν

Au-delà du Modèle Standard

## Lagrangien électrofaible du MS:

$$\mathcal{L}_{EW} = \mathcal{L}_{Fermions} + \mathcal{L}_{Yukawa} + \mathcal{L}_{Jauge} + \mathcal{L}_{Higgs}$$

Génération de la masse des fermions

Mécanisme de Higgs  $\Leftrightarrow$  termes de masses dans  $\mathcal{L}_{Yukawa}$

$$\langle 0 | \phi_{\text{Higgs}} | 0 \rangle \quad M_{jk}^F = -\frac{v}{\sqrt{2}} Y_{jk}^F \quad \text{F} \in \{\text{u, c, t, d, s, b, e, } \mu, \tau\}$$

Couplage de Yukawa

$\mathcal{L}_{Yukawa}$  en fonction des états propres de masse

$\Leftrightarrow$  Diagonalisation des matrices de masse

$$M_{diag}^F = V_L^F M^F V_R^{\dagger F}$$

$\mathcal{L}_{Fermions}$  en fonction des états propres de masse

- Courants neutres invariants
- Courants chargés:

$$J_\mu^+ = \bar{U}_L^m \gamma_\mu [V_L^U V_L^{\dagger D}] D_L^m + \dots$$

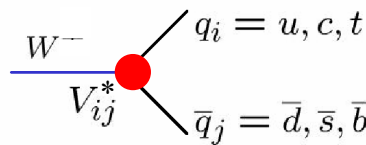
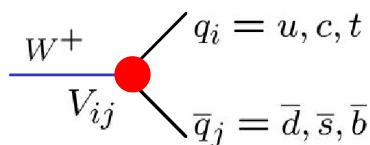
$u_L, c_L, t_L$        $d_L, s_L, b_L$  Termes leptonniques

Matrice **CKM** :  $V_{CKM}$

Seule source de violation de  $CP$  dans le secteur des quarks

## Formalisme CKM

$$V = \begin{pmatrix} V_{ud} & V_{us} & V_{ub} \\ V_{cd} & V_{cs} & V_{cb} \\ V_{td} & V_{ts} & V_{tb} \end{pmatrix} = \begin{pmatrix} d & s & b \\ u & c & t \end{pmatrix} + O(\lambda^4)$$



**Matrice CKM :  $V_{CKM}$**

*Seule source de violation de  $CP$  dans le secteur des quarks*

$\mathcal{L}_{\text{Fermions}}$  en fonction des états propres de masse

- Courants neutres invariants
- Courants chargés:

$$J_\mu^+ = \overline{U}_L^m \gamma_\mu [V_L^U V_L^{\dagger D}] D_L^m + \dots$$

↓                    ↓                    ↓

$u_L, c_L, t_L$        $d_L, s_L, b_L$       Termes leptoniques

## Formalisme CKM

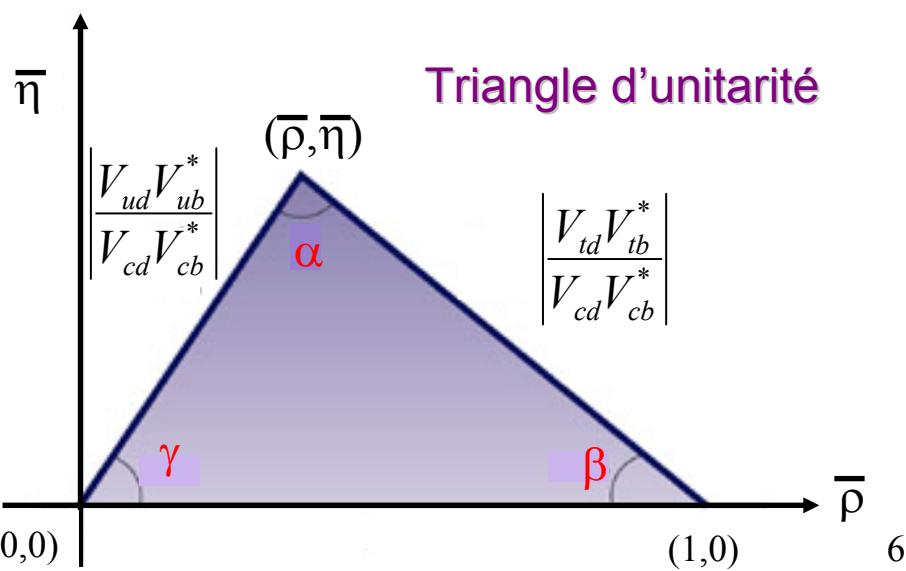
$$V = \begin{pmatrix} V_{ud} & V_{us} & V_{ub} \\ V_{cd} & V_{cs} & V_{cb} \\ V_{td} & V_{ts} & V_{tb} \end{pmatrix} = \begin{pmatrix} 1 - \frac{1}{2}\lambda^2 & \lambda & A\lambda^3(\rho - i\eta) \\ -\lambda & 1 - \frac{1}{2}\lambda^2 & A\lambda^2 \\ A\lambda^3(1 - \rho - i\eta) & -A\lambda^2 & 1 \end{pmatrix} + \mathcal{O}(\lambda^4)$$

Unitarité

$$\frac{V_{ub}^* V_{ud} + V_{cb}^* V_{cd} + V_{tb}^* V_{td} = 0}{\mathcal{O}(\lambda^3) \quad \mathcal{O}(\lambda^3) \quad \mathcal{O}(\lambda^3)}$$

$$\bar{\rho} = \left(1 - \frac{\lambda^2}{2}\right)\rho$$

$$\bar{\eta} = \left(1 - \frac{\lambda^2}{2}\right)\eta$$



Triangle d'unitarité

## Violation de *CP*

Mesure de  $\gamma$  avec les  $B^\pm$

Mesure de  $\sin(2\beta + \gamma)$  avec les

$B^0$

Perspectives sur la mesure de  $\gamma$

## Violation de *CP* dans le Modèle Standard

Enjeux de la violation de *CP*

Accès expérimental au triangle d'unitarité

Connaissances actuelles du triangle  
d'unitarité

## Enjeux de la violation de *CP*

## COSMOLOGIE: *baryogénèse*

- Une des 3 conditions de Sakharov
- Amplitude insuffisante

$$\frac{\Delta n_{baryon}}{n_\gamma} = O(10^{-20}) \ll (4 - 6) \times 10^{-11}$$

- ⇒ D'autres sources de violation de *CP*
- ⇒ Première compréhension avec le secteur électrofaible

## METROLOGIE

- Paramètres **CKM** non calculables théoriquement
- Validation du formalisme **CKM**,  
**recherche de déviations**

## Nouvelle Physique

- Extension du secteur de la saveur  
(Exemple: SUSY, 41 phases CPV suppl.)

- Contraintes des scénarios

## Violation de CP

Mesure de  $\gamma$  avec les  $B^\pm$

Mesure de  $\sin(2\beta + \gamma)$  avec les

$B^0$

Perspectives sur la mesure de  $\gamma$

## Violation de CP dans le Modèle Standard

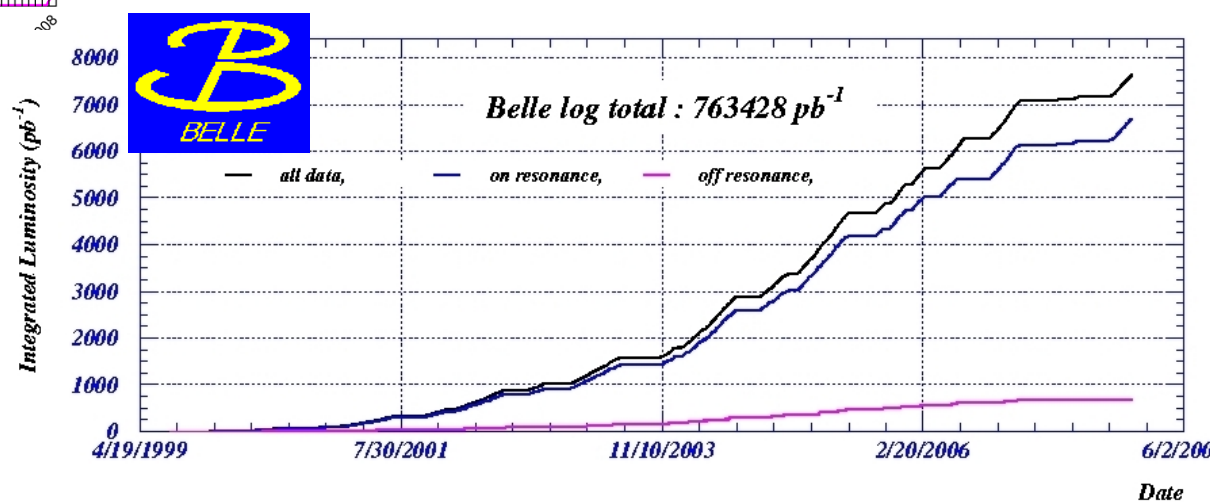
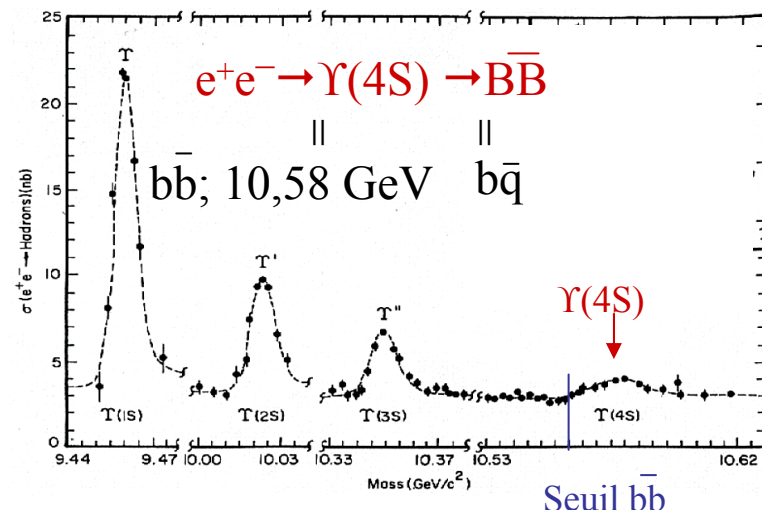
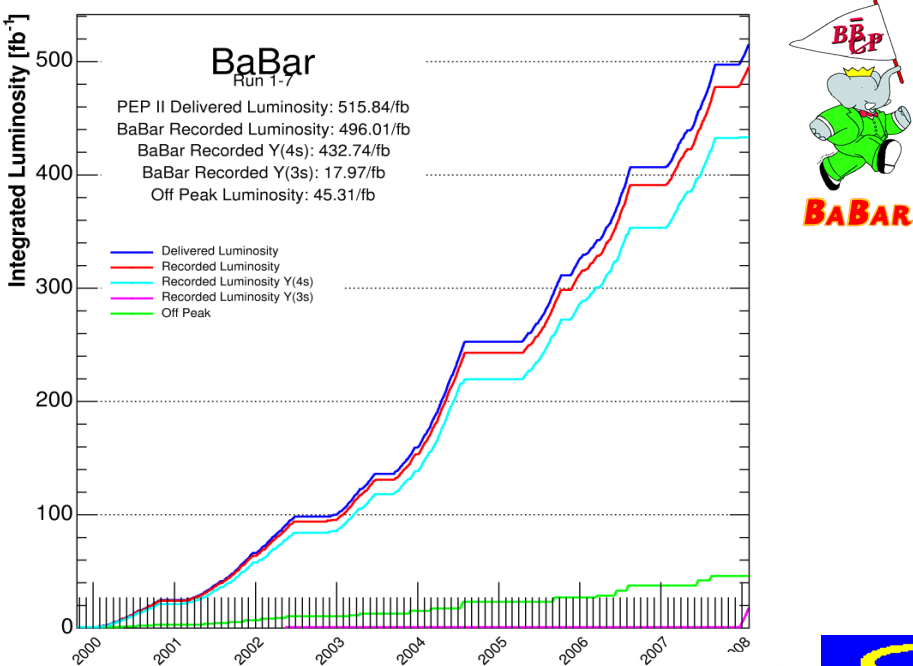
Enjeux de la violation de CP

Accès expérimental au triangle d'unitarité

Connaissances actuelles du triangle

d'unitarité

## Les usines à B



PEP-II + BaBar } Principe  
KEK-B + Belle } identique  
Haute luminosité (>10<sup>34</sup> cm<sup>-2</sup>s<sup>-1</sup>)

## Violation de $CP$

Mesure de  $\gamma$  avec les  $B^\pm$

Mesure de  $\sin(2\beta + \gamma)$  avec les

$B^0$

Perspectives sur la mesure de  $\gamma$

## Violation de $CP$ dans le Modèle Standard

Enjeux de la violation de  $CP$

Accès expérimental au triangle d'unitarité

Connaissances actuelles du triangle

d'unitarité

## Le détecteur BaBar

Tube à vide

Détecteur de vertex

Chambre à dérive

Détecteur Cerenkov

Calorimètre électromagnétique

Aimant supraconducteur

$e^-$  9 GeV

Retour de flux instrumenté

6580 cristaux de CsI(Tl)

404 bâches de quartz, 11000 PMT

Bonne résolution en  $E$

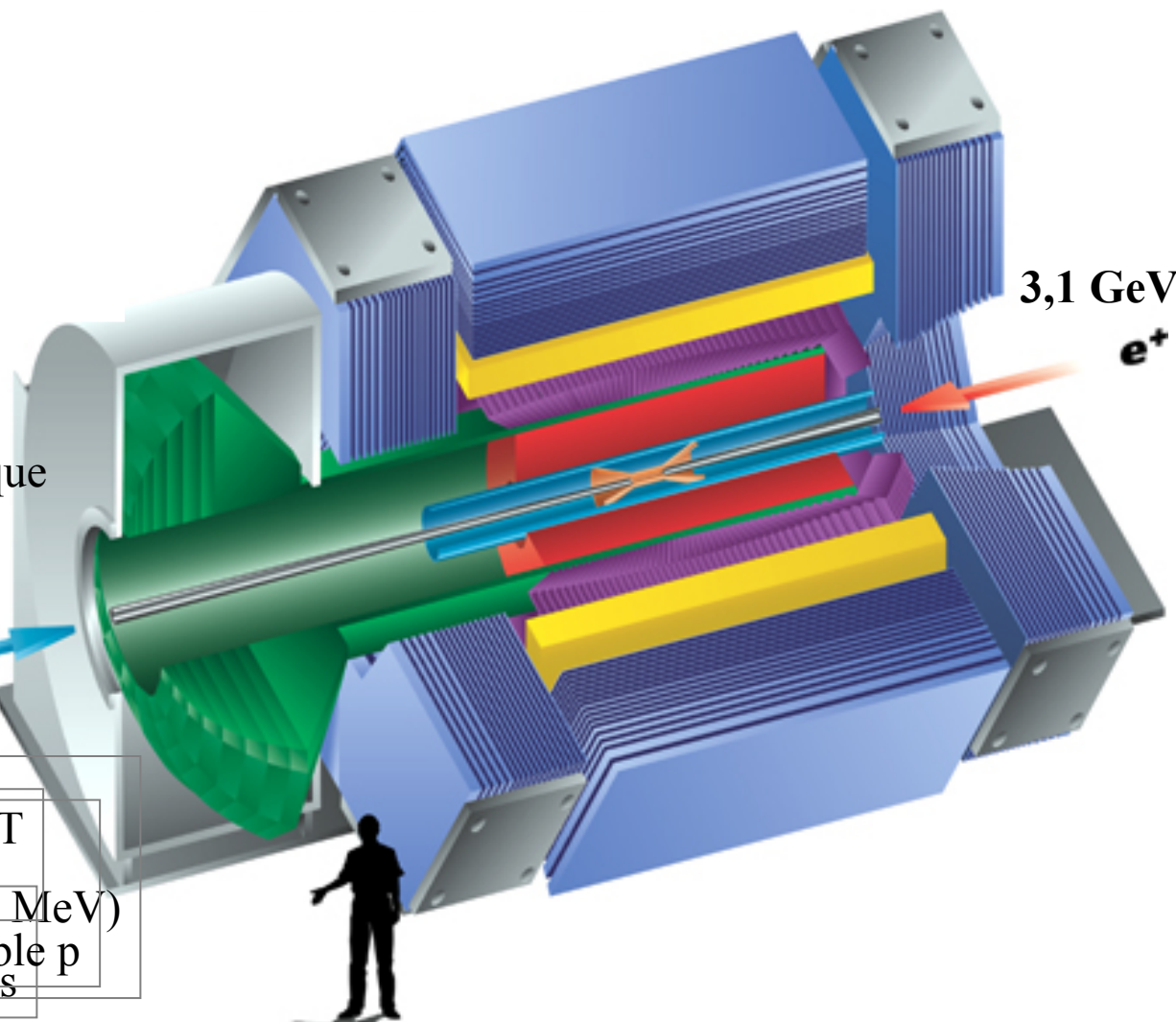
Séparation, résolution en  $p$

Reconstruction des  $\pi^0$ ,  $\gamma$  ( $E > 30$  MeV)

Séparation  $K^+$ /CSK

Identification des traces de faible  $p$

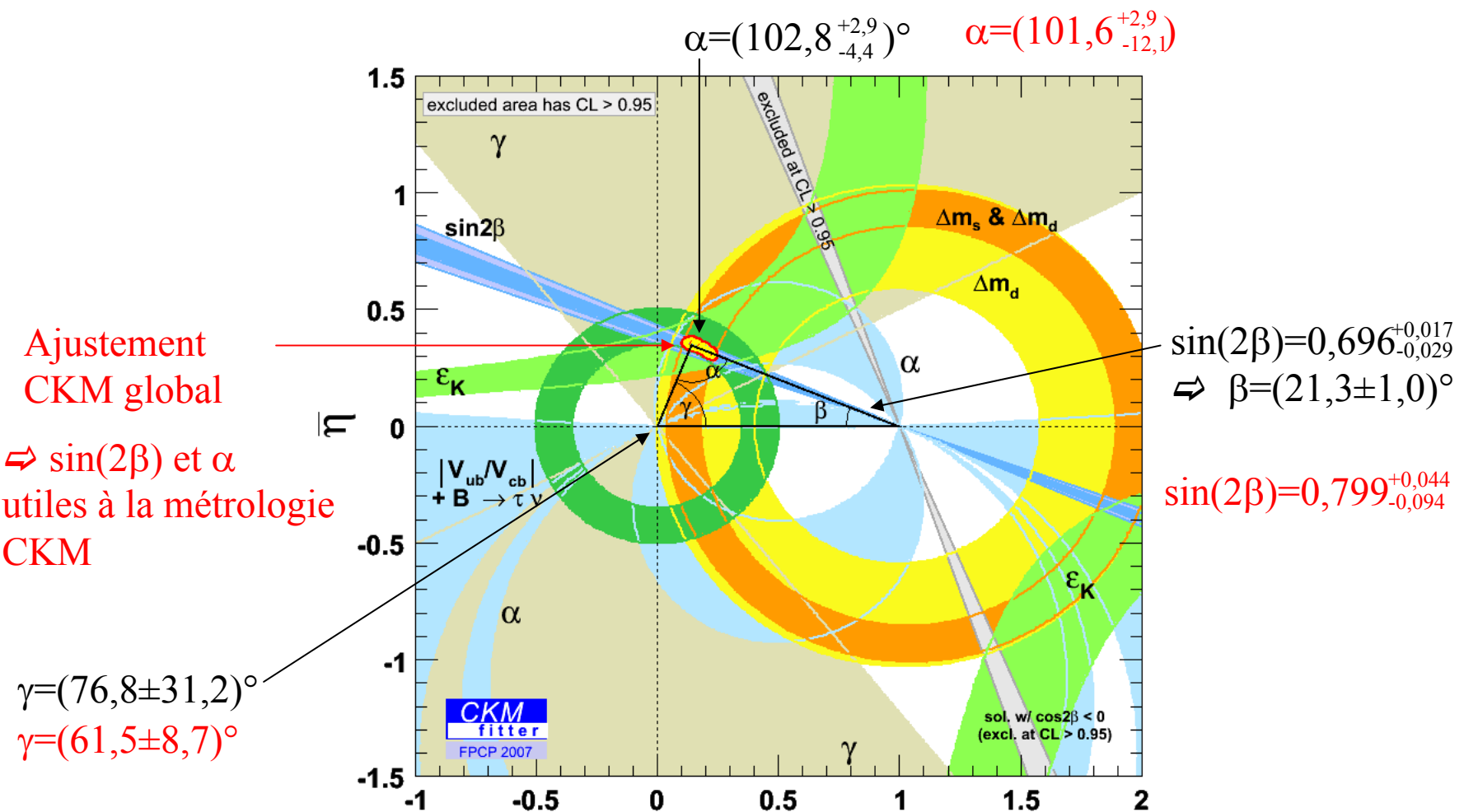
Séparation  $\mu$ /hadrons



Violation de  $CP$   
 Mesure de  $\gamma$  avec les  $B^\pm$   
 Mesure de  $\sin(2\beta+\gamma)$  avec les  
 $B^0$   
 Perspectives sur la mesure de  $\gamma$

*Violation de CP dans le Modèle Standard*  
*Enjeux de la violation de CP*  
*Accès expérimental au triangle d'unitarité*  
*Connaissances actuelles du triangle*  
*d'unitarité*

## Connaissance actuelle du triangle d'unitarité



$\Rightarrow$  Besoin d'une meilleure précision sur  $\gamma$

## Violation de $CP$

Mesure de  $\gamma$  avec les  $B^\pm$

Mesure de  $\sin(2\beta + \gamma)$  avec les

$B^0$

Perspectives sur la mesure de  $\gamma$

## Principes

Méthode Gronau-London-Wyler (GLW)

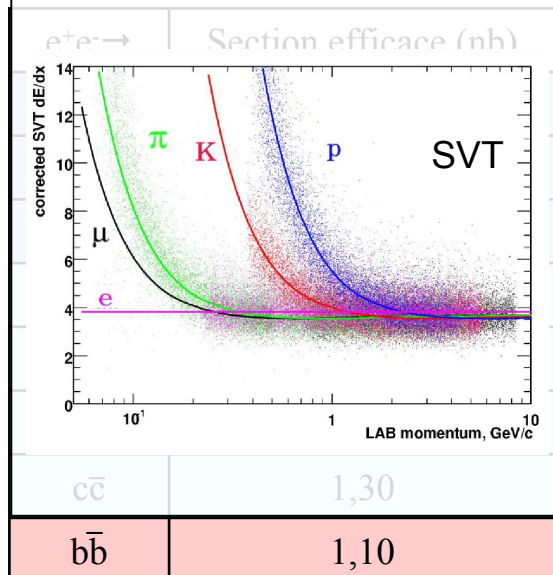
Méthode Atwood-Dunietz-Soni (ADS)

Méthode Giri-Grossman-Soffer-Zupan

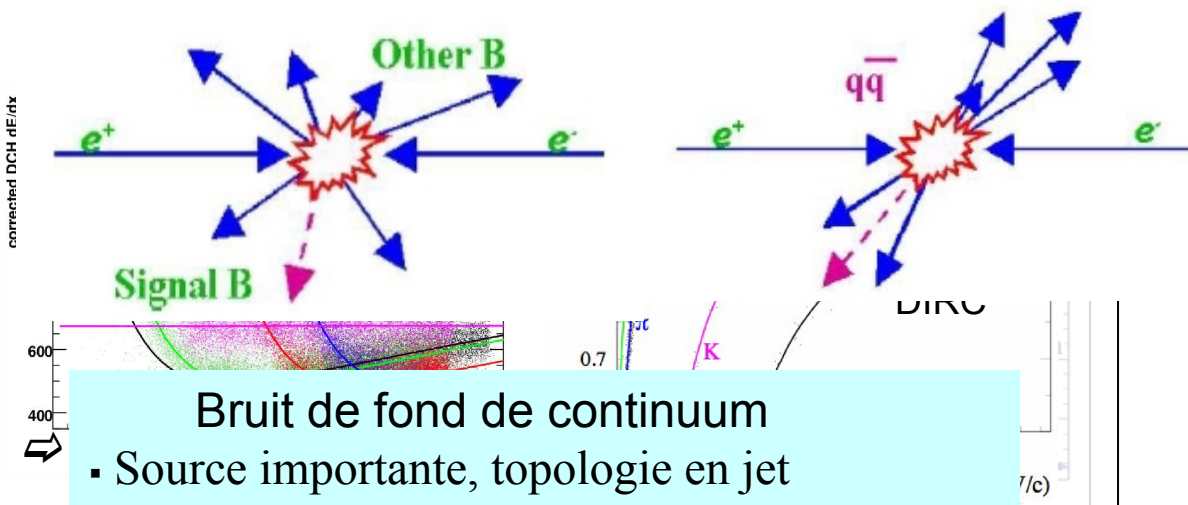
(GGSZ)

## Principe d'analyse

### Sources de bruit de fond



### Identification du B



- ⇒ (Signal+) Bruit de fond de générique ( $B^+B^-$ ,  $\bar{B}^0B^0$ )
- Le plus difficile, même topologie
- Sélection (masses invariantes,  $m_{ES}$ ,  $\Delta E$ )
  - Identification de particules
  - Ajustement

Violation de  $CP$   
 Mesure de  $\gamma$  avec les  $B^\pm$   
 Mesure de  $\sin(2\beta+\gamma)$  avec les  
 $B^0$   
 Perspectives sur la mesure de  $\gamma$

**Principes**  
 Méthode Gronau-London-Wyler (GLW)  
 Méthode Atwood-Dunietz-Soni (ADS)  
 Méthode Giri-Grossman-Soffer-Zupan  
 (GGSZ)

## Principe d'analyse

### Sources de bruit de fond

Ajustement: maximum de vraisemblance étendu

$$L = \frac{\exp(-\sum_j n_j)}{N!} \prod_{i=1}^N \left( \sum_j n_i P_j^i \right)$$

$$P_j^i = \prod_{k=1}^{N_{\text{var}}} P_j(\theta_k^i) \quad \Leftrightarrow BR = \frac{n_{\text{meas.}} - n_{\text{biais}}}{n_B \varepsilon}$$

Variable :  $m_{\text{ES}}, \Delta E, F, \dots$

$$\mathcal{A}_{CP} = \frac{BR(B \rightarrow X) - BR(\bar{B} \rightarrow \bar{X})}{BR(B \rightarrow X) + BR(\bar{B} \rightarrow \bar{X})}$$

e <sup>+</sup> e <sup>-</sup> →	Section efficace (nb)
$\tau^+ \tau^-$	0,04
$\bar{u}u$	1,39
$\bar{d}d$	0,35
$\bar{s}s$	0,35
$\bar{c}c$	1,30
$\bar{b}b$	1,10

⇒ (Signal+) Bruit de fond de générique ( $B^+B^-$ ,  $B^0\bar{B}^0$ )  
 Le plus difficile, même topologie

- Sélection (masses invariantes,  $m_{\text{ES}}$ ,  $\Delta E$ )
- Identification de particules
- Ajustement

Violation de  $CP$

Mesure de  $\gamma$  avec les  $B^\pm$   
Mesure de  $\sin(2\beta+\gamma)$  avec les  
 $B^0$

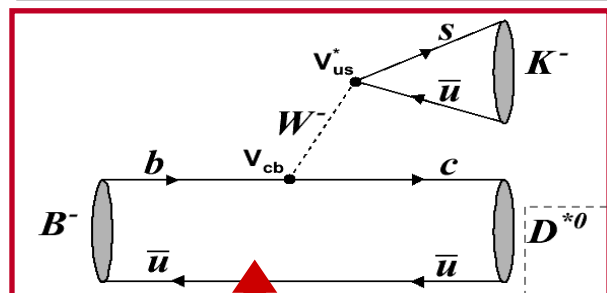
Perspectives sur la mesure de  $\gamma$

Principes

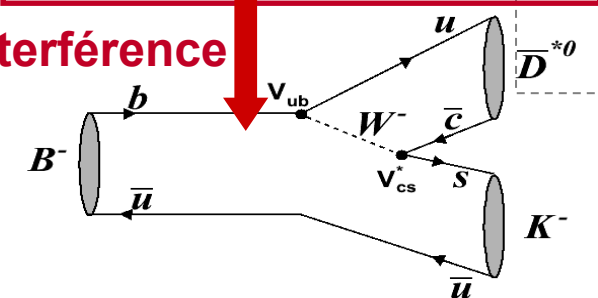
Méthode Gronau-London-Wyler (GLW)  
Méthode Atwood-Dunietz-Soni (ADS)  
Méthode Giri-Grossman-Soffer-Zupan  
(GGSZ)

Mesures directes avec  $B^\pm \rightarrow D^{(*)} K^{(*)\pm}$

$$A(B^- \rightarrow D^{(*)0} K^-) \propto V_{cb} V_{us}^* \propto \lambda^3$$



Interférence



$$A(B^- \rightarrow \bar{D}^{(*)0} K^-) \propto V_{ub} V_{cs}^* \propto \lambda^3 \sqrt{\rho^2 + \eta^2} e^{i(\delta_B - \gamma)}$$

Principe commun:  $D^{(*)} = \text{mélange } D^{(*)0} + \bar{D}^{(*)0}$

État final commun  $\Rightarrow$  interférence  $\Rightarrow$  accès à  $\gamma$   
(mélange  $D^0 - \bar{D}^0$  néglige)

3 méthodes		
<i>GLW</i> Modes $CP$ $CP+ : K^+ K^-, \pi^+ \pi^-$ $CP- : K_S \phi, K_S \omega, K_S \pi^0$	<i>ADS</i> Modes D.S. Cabibbo $D^{(*)0} \rightarrow K^+ \pi^-$ Suppr. $D^{(*)0} \rightarrow K^- \pi^+$ Fav.	<i>GGSZ</i> 3 corps: Dalitz $K_S \pi^+ \pi^-$ $K_S K^+ K^-$ $\pi^+ \pi^- \pi^0$

- Théoriquement propre (*pas de pollution pingouin*)
- 3 inconnues communes (1 jeu pour chaque mode)
  - $\gamma$ , différence de *phase faible*
  - $\delta_B$ , différence de *phase forte*
  - $r_B^{(*)} \equiv \left| \frac{A(B^- \rightarrow \bar{D}^{(*)0} K^-)}{A(B^- \rightarrow D^{(*)0} K^-)} \right| \sim 0,1 - 0,2$

## Violation de $CP$

Mesure de  $\gamma$  avec les  $B^\pm$

Mesure de  $\sin(2\beta + \gamma)$  avec les

$B^0$

Perspectives sur la mesure de  $\gamma$

## Principes

Méthode Gronau-London-Wyler (GLW)

Méthode Atwood-Dunietz-Soni (ADS)

Méthode Giri-Grossman-Soffer-Zupan  
(GGSZ)

## Principe de la méthode glw

Phys.Lett.B253:483-488,1991

Phys.Lett.B265:172-176,1991

### Pseudo-asymétries $CP$

$$A_{CP\pm} = \frac{\Gamma(B^- \rightarrow D_{CP\pm}^{(*)0} K^-) - \Gamma(B^+ \rightarrow D_{CP\pm}^{(*)0} K^+)}{\Gamma(B^- \rightarrow D^{(*)0} K^-)}$$

$$= \pm 2r_B^{(*)} \sin \delta_B \sin \gamma$$

### Rapports de BR $CP/\text{non } CP$

$$R_{CP\pm} = \frac{\Gamma(B^- \rightarrow D_{CP\pm}^{(*)0} K^-) + \Gamma(B^+ \rightarrow D_{CP\pm}^{(*)0} K^+)}{\Gamma(B^- \rightarrow D^{(*)0} K^-)}$$

$$= 1 + r_B^{(*)2} \pm 2r_B^{(*)} \cos \delta_B \cos \gamma$$

4 observables  $A_{CP\pm}, R_{CP\pm}$

3 inconnues:  $r_B^{(*)}, \delta_B, \gamma$

1 relation:  $\mathcal{A}_{CP\pm} = A_{CP\pm} / R_{CP\pm}$

⇒ système soluble en principe

$$\mathcal{A}_{CP\pm} = \frac{\Gamma(B^- \rightarrow D_{CP\pm}^{(*)0} K^-) - \Gamma(B^+ \rightarrow D_{CP\pm}^{(*)0} K^+)}{\Gamma(B^- \rightarrow D_{CP\pm}^{(*)0} K^-) + \Gamma(B^+ \rightarrow D_{CP\pm}^{(*)0} K^+)}$$

(Vraie asymétrie  $CP$ )

$$\frac{R_{CP+} + R_{CP-}}{2} = 1 + r_B^{(*)2} \Rightarrow \text{Mesure de } r_B^{(*)}$$

$$R_{CP\pm} = 1 + r_B^{(*)2} \pm \sqrt{4r_B^{(*)2} \cos^2 \gamma - \mathcal{A}_{CP\pm}^2 \cot^2 \gamma} \Rightarrow \text{Mesure de } \gamma$$

Violation de  $CP$

Mesure de  $\gamma$  avec les  $B^\pm$

Mesure de  $\sin(2\beta+\gamma)$  avec les

$B^0$

Perspectives sur la mesure de  $\gamma$

Principes

Méthode Gronau-London-Wyler (GLW)

Méthode Atwood-Dunietz-Soni (ADS)

Méthode Giri-Grossman-Soffer-Zupan  
(GGSZ)

## Inconvénients de la méthode glw

### Pseudo-asymétries $CP$

$$A_{CP\pm} = \frac{\Gamma(B^- \rightarrow D_{CP\pm}^{(*)0} K^-) - \Gamma(B^+ \rightarrow D_{CP\pm}^{(*)0} K^+)}{\Gamma(B^- \rightarrow D^{(*)0} K^-)} \\ = \pm 2r_B^{(*)} \sin \delta_B \sin \gamma$$

### Rapports de BR $CP/\text{non } CP$

$$R_{CP\pm} = \frac{\Gamma(B^- \rightarrow D_{CP\pm}^{(*)0} K^-) + \Gamma(B^+ \rightarrow D_{CP\pm}^{(*)0} K^+)}{\Gamma(B^- \rightarrow D^{(*)0} K^-)} \\ = 1 + r_B^{(*)2} \pm 2r_B^{(*)} \cos \delta_B \cos \gamma$$

$$r_B \approx \frac{|V_{ub} V_{cs}^*|}{|V_{cb} V_{us}^*|} \left| \frac{a_2}{a_1} \right| \approx 0,1$$

Caractérise la suppression de couleur.

Pour les effets non perturbatifs après factorisation

Déterminé sur  $B^0 \rightarrow D^- \pi^+$  modèles F.F.

Phys.Lett.B253:483-488,1991

Phys.Lett.B265:172-176,1991

Ambiguité d'ordre 8

Limitation statistique

$\text{BR}(B \rightarrow D^0 K) \times \text{BR}(D^0 \rightarrow \{\text{CP}\}) \sim 10^{-6}$

$\sum \text{BR}(D^0 \rightarrow \{\text{CP}\}) = 5\% \sum \text{BR}(D^0 \rightarrow X)$

Faible sensibilité à  $r_B^{(*)}$

*Equation quadratique en  $r_B^{(*)}$*

$$\frac{R_{CP+} + R_{CP-}}{2} = 1 + r_B^{(*)2}$$

Rq: Exp. favorise valeurs + grandes

Gronau, Phys. Lett. B557,198 (2003) 15

## Violation de CP

Mesure de  $\gamma$  avec les  $B^\pm$

Mesure de  $\sin(2\beta+\gamma)$  avec les

$B^0$

Perspectives sur la mesure de  $\gamma$

## Principes

Méthode Gronau-London-Wyler (GLW)

Méthode Atwood-Dunietz-Soni (ADS)

Méthode Giri-Grossman-Soffer-Zupan  
(GGSZ)

# Inconvénients de la méthode glw

### Pseudo-asymétries CP

$$A_{CP\pm} = \frac{\Gamma(B^- \rightarrow D_{CP\pm}^{(*)0} K^-) - \Gamma(B^+ \rightarrow D_{CP\pm}^{(*)0} K^+)}{\Gamma(B^- \rightarrow D^{(*)0} K^-)} \\ = \pm 2r_B^{(*)} \sin \delta_B \sin \gamma$$

### Rapports de BR CP/non CP

$$R_{CP\pm} = \frac{\Gamma(B^- \rightarrow D_{CP\pm}^{(*)0} K^-) + \Gamma(B^+ \rightarrow D_{CP\pm}^{(*)0} K^+)}{\Gamma(B^- \rightarrow D^{(*)0} K^-)} \\ = 1 + r_B^{(*)2} \pm 2r_B^{(*)} \cos \delta_B \cos \gamma$$

Phys.Lett.B253:483-488,1991

Phys.Lett.B265:172-176,1991

Ambiguité d'ordre 8

Limitation statistique

$$\text{BR}(B \rightarrow D^0 K) \times \text{BR}(D^0 \rightarrow \{\text{CP}\}) \sim 10^{-6}$$

$$\sum \text{BR}(D^0 \rightarrow \{\text{CP}\}) = 5\% \sum \text{BR}(D^0 \rightarrow X)$$

Faible sensibilité à  $r_B^{(*)}$

## ● Conséquences sur $\gamma$

- Précision sur  $\gamma$  augmente quand  $r_B^{(*)}$  augmente (interférences plus larges)
- Mesure précise de  $R_{CP\pm}$  requise pour mesurer  $r_B^{(*)}$  et contraindre  $\gamma$

## ● Conséquences pour l'analyse: *besoin de nombreux modes pour augmenter la statistique*

## Violation de $CP$

Mesure de  $\gamma$  avec les  $B^\pm$   
Mesure de  $\sin(2\beta+\gamma)$  avec les

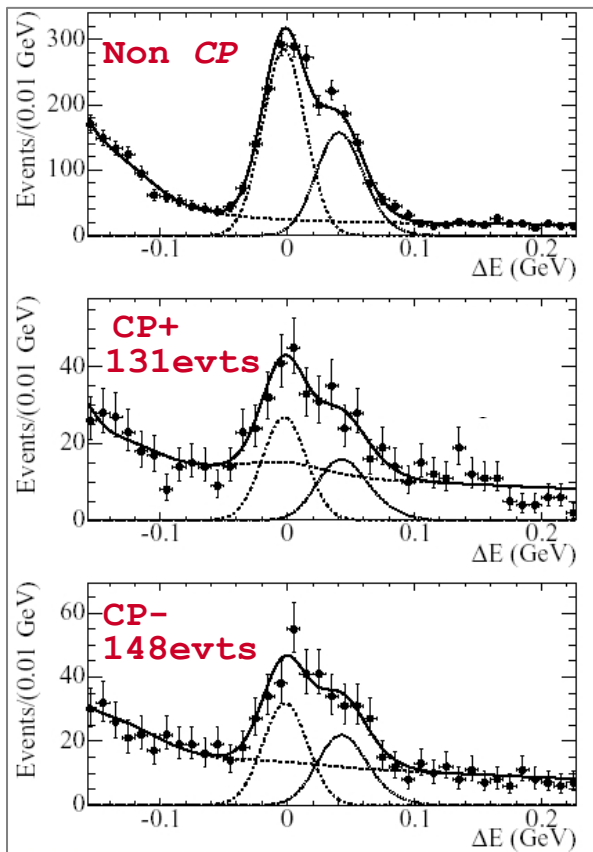
$B^0$

Perspectives sur la mesure de  $\gamma$

## Principes

Méthode Gronau-London-Wyler (GLW)  
Méthode Atwood-Dunietz-Soni (ADS)  
Méthode Giri-Grossman-Soffer-Zupan  
(GGSZ)

$B^\pm \rightarrow D^0 K^\pm$  ( $232 \times 10^6 B\bar{B}$ )

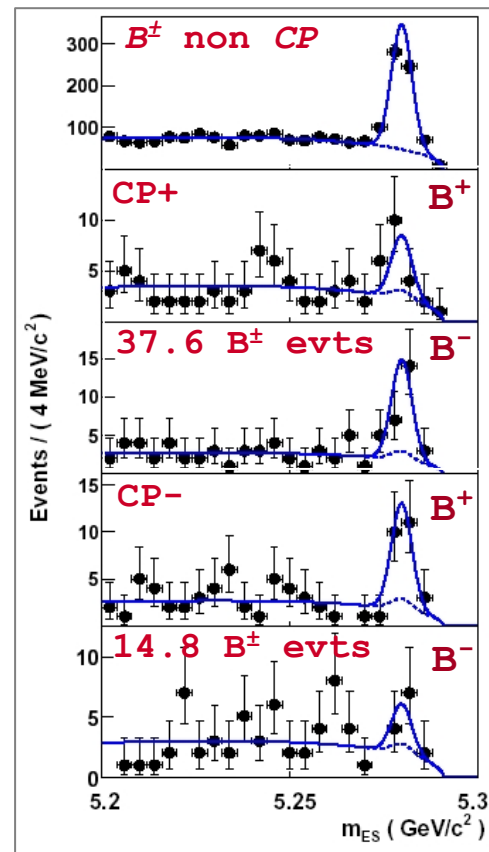


Non CP:  $K\pi$

$CP+$ :  $KK, \pi\pi$

$CP-$ :  $K_s\pi^0, K_s\omega, K_s\phi$

$B^\pm \rightarrow D^0 K^{*\pm}$  ( $232 \times 10^6 B\bar{B}$ )



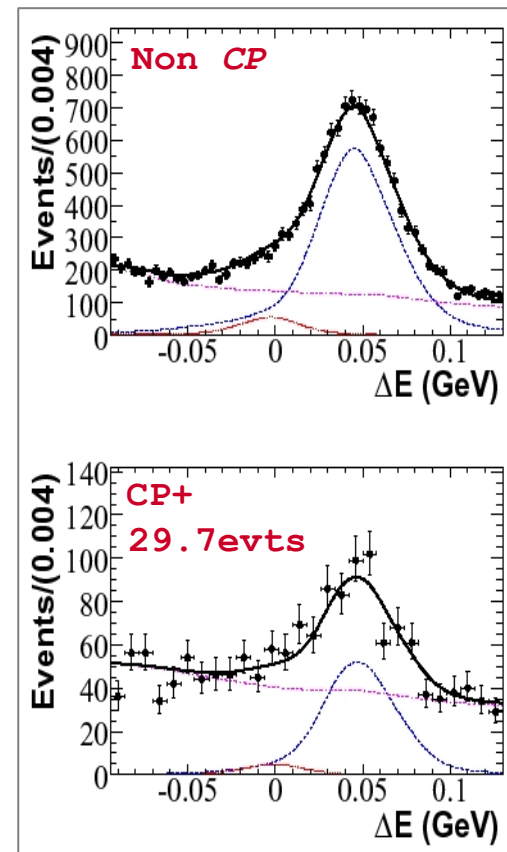
$K^* \rightarrow K_s \pi^-$

Non CP: *idem* à  $D^* K$

$CP$ : *idem* à  $DK$

Résultats glw

$B^\pm \rightarrow D^{*0} K^\pm$  ( $124 \times 10^6 B\bar{B}$ )



$D^* \rightarrow D^0 \pi^0$

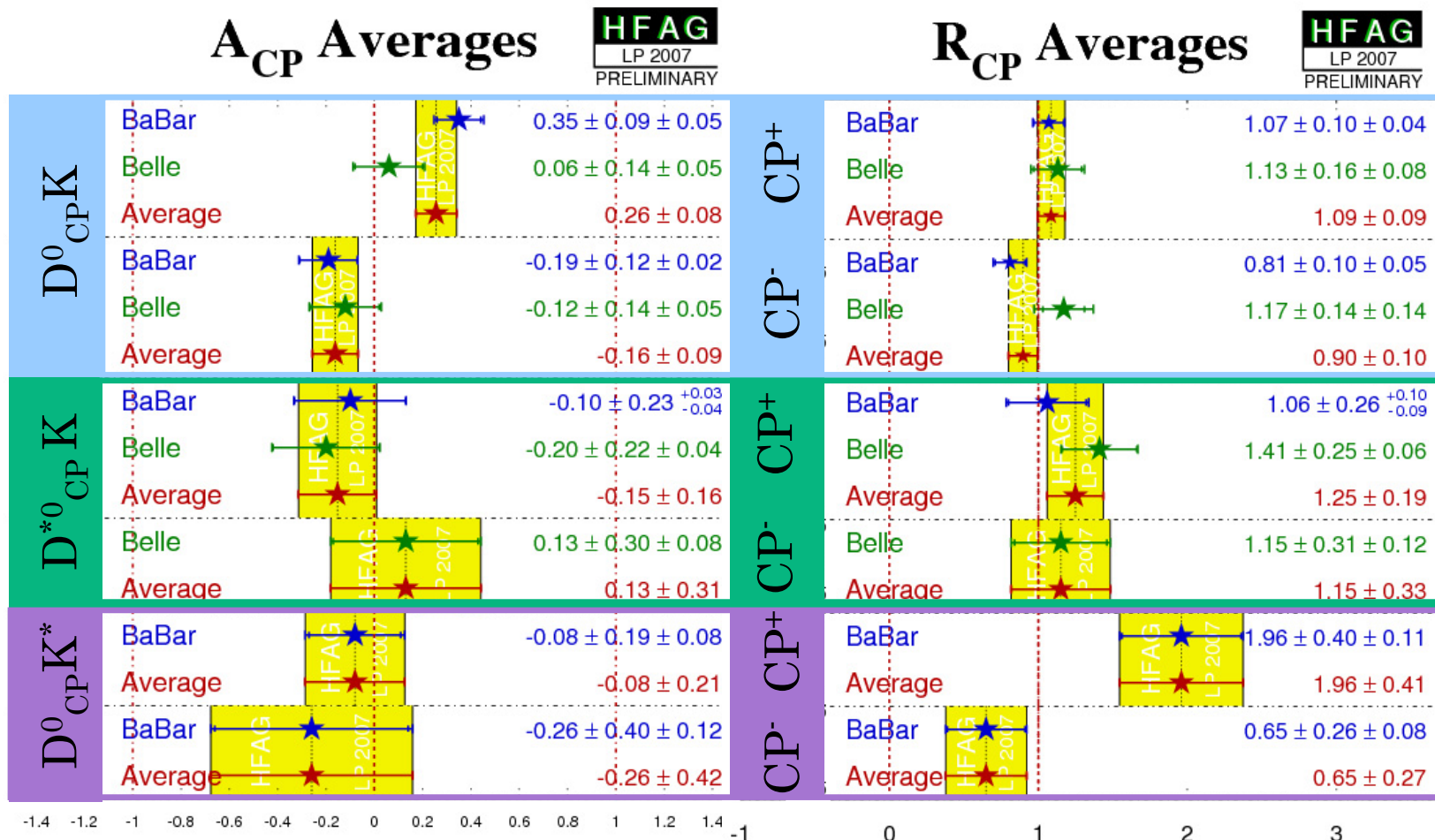
Non CP:  $K\pi, K\pi\pi^0, K\pi\pi\pi$

$CP+$ :  $KK, \pi\pi$  (No CP -) 17

Violation de  $CP$   
 Mesure de  $\gamma$  avec les  $B^\pm$   
 Mesure de  $\sin(2\beta+\gamma)$  avec les  
 $B^0$   
 Perspectives sur la mesure de  $\gamma$

Principes  
**Méthode Gronau-London-Wyler (GLW)**  
**Méthode Atwood-Dunietz-Soni (ADS)**  
**Méthode Giri-Grossman-Soffer-Zupan (GGSZ)**

## Résultats glw: résumé

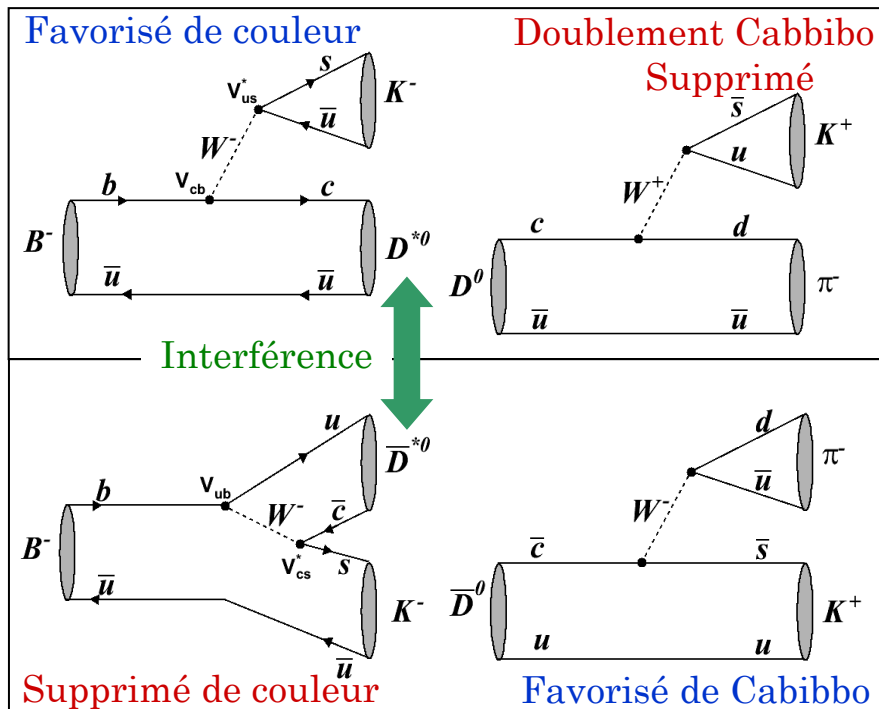


GLW seule ne contraint pas  $\gamma$  : - *besoin de plus de statistique*  
 - *besoin de combiner avec d'autres méthodes* 18

Violation de  $CP$   
 Mesure de  $\gamma$  avec les  $B^\pm$   
 Mesure de  $\sin(2\beta+\gamma)$  avec les  
 $B^0$   
 Perspectives sur la mesure de  $\gamma$

**Principes**  
 Méthode Gronau-London-Wyler (GLW)  
 Méthode Atwood-Dunietz-Soni (ADS)  
 Méthode Giri-Grossman-Soffer-Zupan  
 (GGSZ)

## Méthode ADS



**2 observables mesurées...**  
(4 avec  $D^*K$ , [PRD70,091503\(2004\)](#))

Rapports de BR

$$R_{ADS} = \frac{\Gamma(B^- \rightarrow D[K^+\pi^-]K^-) + \Gamma(B^+ \rightarrow D[K^-\pi^+]K^+)}{\Gamma(B^- \rightarrow D[K^-\pi^+]K^-) + \Gamma(B^+ \rightarrow D[K^+\pi^-]K^+)} = r_B^2 + r_D^2 + 2r_B r_D \cos(\delta_B + \delta_D) \cos\gamma$$

Asymétries CP

$$A_{ADS} = \frac{\Gamma(B^- \rightarrow D[K^+\pi^-]K^-) - \Gamma(B^+ \rightarrow D[K^-\pi^+]K^+)}{\Gamma(B^- \rightarrow D[K^+\pi^-]K^-) + \Gamma(B^+ \rightarrow D[K^-\pi^+]K^+)} = 2r_B r_D \sin(\delta_B + \delta_D) \sin\gamma / R_{ADS}$$

- Amplitudes comparables  
⇒ **violation de  $CP$  plus importante**
- Bonne sensibilité à  $r_B^2$  avec  $R_{ADS}$
- Limitation principale: petits BF  $\sim 10^{-7}$

$$r_D^2 \equiv \left| \frac{A(D \rightarrow K^+\pi^-)}{A(D \rightarrow K^-\pi^+)} \right|^2 = (0.365 \pm 0.021)\% \quad \text{PLB 592,1 (PDG 2004)}$$

...et 5 inconnues:  $r_B$ ,  $r_D$ ,  $\delta_B$ ,  $\delta_D$ ,  $\gamma$

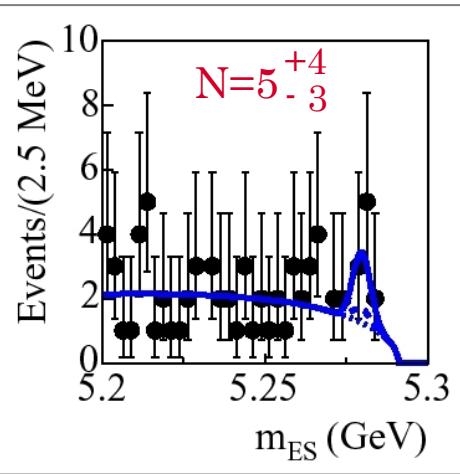
Phase forte du D  
Balayage de toutes les valeurs

Violation de  $CP$   
 Mesure de  $\gamma$  avec les  $B^\pm$   
 Mesure de  $\sin(2\beta+\gamma)$  avec les  
 $B^0$   
 Perspectives sur la mesure de  $\gamma$

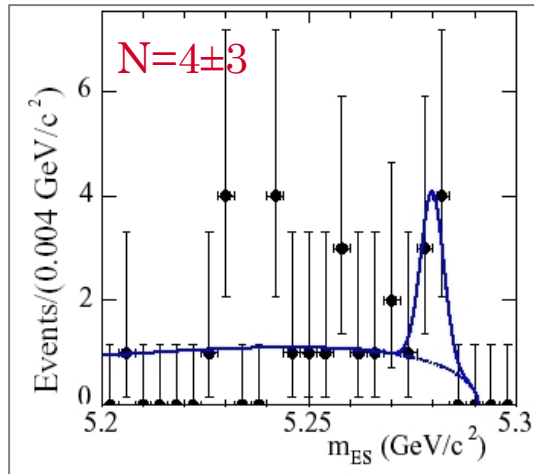
*Principes*  
*Méthode Gronau-London-Wyler (GLW)*  
*Méthode Atwood-Dunietz-Soni (ADS)*  
*Méthode Giri-Grossman-Soffer-Zupan (GGSZ)*

## Résultats ADS

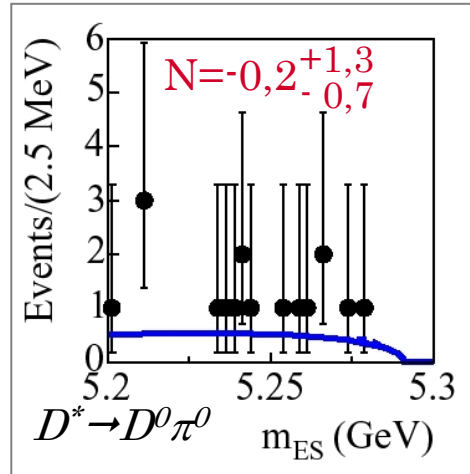
$B^\pm \rightarrow D^0 K^\pm$



$B^\pm \rightarrow D^0 K^{*\pm}$



$B^\pm \rightarrow D^{*0} K^\pm$



Pas de signal!

PRD 72, 032004 (2005)  
 PRD 73, 071104 (2006)

$232 \times 10^6 B\bar{B}$

$R_{ADS}$

$r_B$

$D^0 K$	$0,013^{+0,011}_{-0,009}$	$r_B < 0,23$
$D^{*0} K$	$-0,002^{+0,010}_{-0,006}$ ( $D^0 \pi^0$ ) $0,011^{+0,013}_{-0,013}$ ( $D^0 \gamma$ )	$(r_B^*)^2 < (0,16)^2$
$D^0 K^*$	$0,046 \pm 0,032$	$r_{sB} = 0,20 \pm 0,14$

(90% CL)

Violation de  $CP$   
 Mesure de  $\gamma$  avec les  $B^\pm$   
 Mesure de  $\sin(2\beta+\gamma)$  avec les  
 $B^0$   
 Perspectives sur la mesure de  $\gamma$

Principes  
 Méthode Gronau-London-Wyler (GLW)  
 Méthode Atwood-Dunietz-Soni (ADS)  
 Méthode Giri-Grossman-Soffer-Zupan  
 (GGSZ)

## Résultats ADS: mode $B^- \rightarrow [K^+ \pi^- \pi^0]_D K^-$

- Similaire à la méthode ADS classique avec DCS  $D^0 \rightarrow K^+ \pi^-$ 
  - Complication:  $(A_D, \delta_D)$  varient dans le plan de Dalitz

Préliminaire

$$R_{ADS} = \frac{\Gamma(B^- \rightarrow D[K^+ \pi^-]K^-) + \Gamma(B^+ \rightarrow D[K^- \pi^+]K^+)}{\Gamma(B^- \rightarrow D[K^- \pi^+]K^-) + \Gamma(B^+ \rightarrow D[K^+ \pi^-]K^+)} = r_B^2 + r_D^2 + 2r_B r_D C \cos \gamma$$

$$A_{ADS} = \frac{\Gamma(B^- \rightarrow D[K^+ \pi^-]K^-) - \Gamma(B^+ \rightarrow D[K^- \pi^+]K^+)}{\Gamma(B^- \rightarrow D[K^+ \pi^-]K^-) + \Gamma(B^+ \rightarrow D[K^- \pi^+]K^+)} = 2r_B r_D S \sin \gamma / R_{ADS}$$

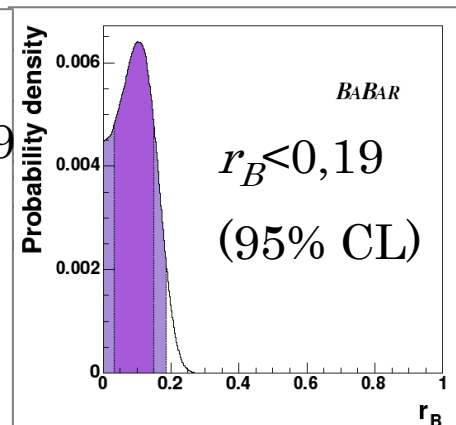
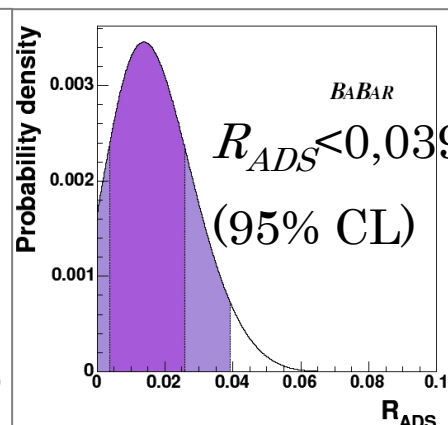
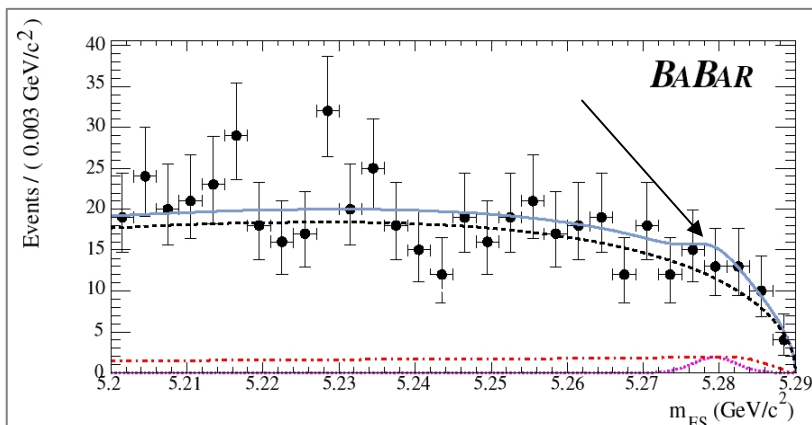
$C = \frac{\int A_D(\vec{s}) \cos(\delta_D(\vec{s}) + p(\vec{s})) d\vec{s}}{\int |A_D(\vec{s})|^2 d\vec{s}}$  petit  
 $C$  inconnu:  $\sqrt{\int |A_D(\vec{s})|^2 d\vec{s}}$

$S = \frac{\int A_D(\vec{s}) \sin(\delta_D(\vec{s}) + p(\vec{s})) d\vec{s}}{\sqrt{\int |A_D(\vec{s})|^2 d\vec{s}} \sqrt{\int |A_D(\vec{s})|^2 d\vec{s}}}$

$$\vec{s} = (m_{K\pi}^2, m_{K\pi^0}^2)$$

Bruit + grand, mais BR aussi

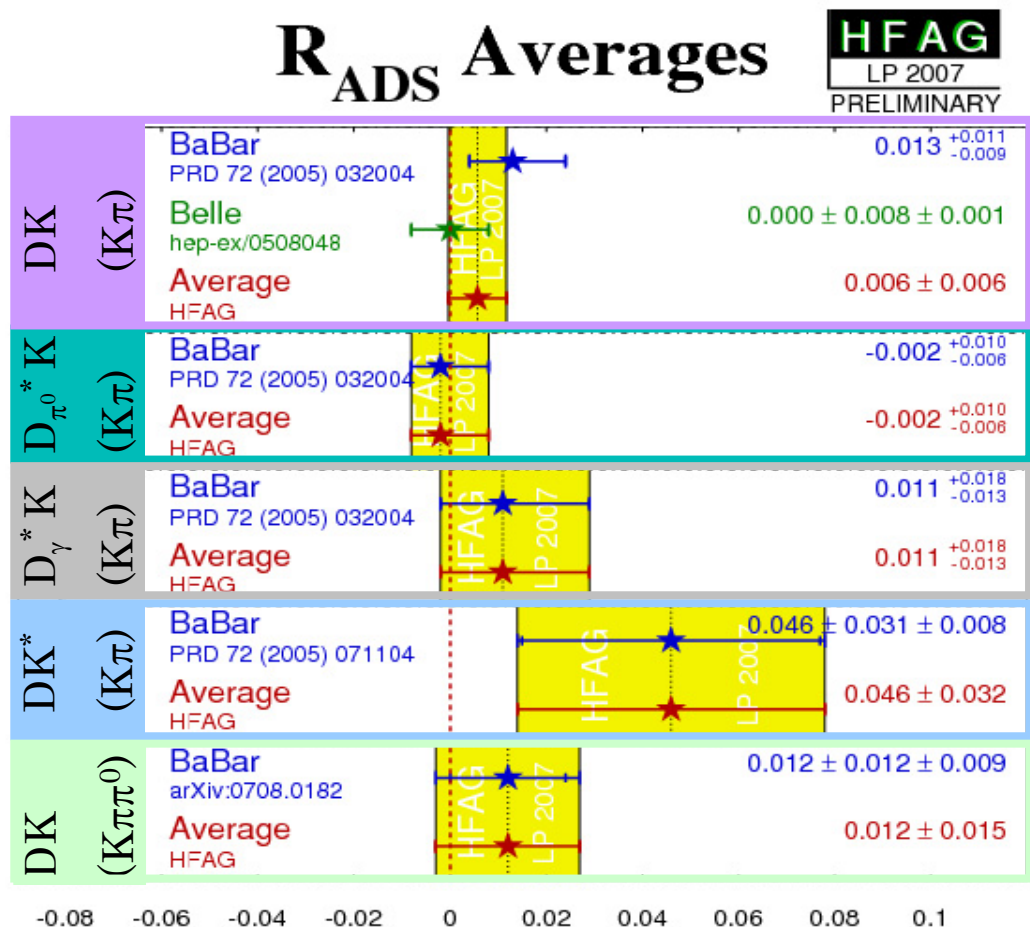
hep-ex/0607065  
 $226 \times 10^6 \bar{B}B$



LH experimental

LH bayésien

## Résultats ADS: résumé

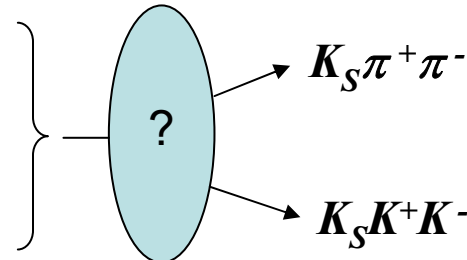
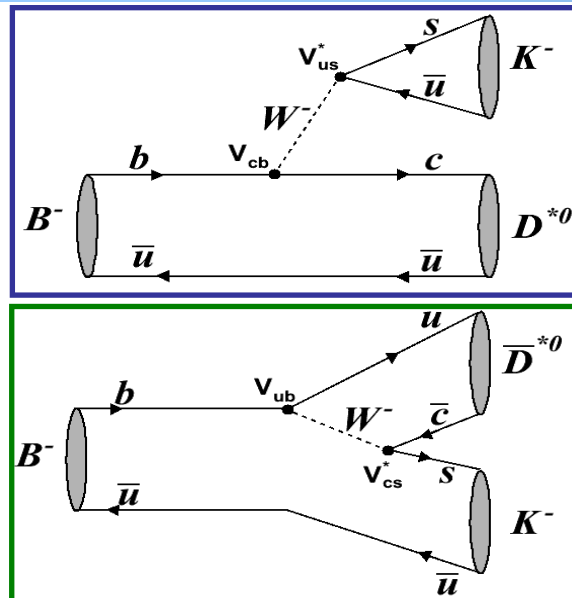


- Pas de mesure de  $A_{ADS}^{(*)}$
- Pas de contrainte de  $r_{(s)B}^{(*)}$  avec  $R_{ADS}^{(*)}$  seul
- $r_{(s)B}^{(*)}$  plus petit qu'attendu

Violation de  $CP$   
 Mesure de  $\gamma$  avec les  $B^\pm$   
 Mesure de  $\sin(2\beta+\gamma)$  avec les  
 $B^0$   
 Perspectives sur la mesure de  $\gamma$

Principes  
 Méthode Gronau-London-Wyler (GLW)  
 Méthode Atwood-Dunietz-Soni (ADS)  
 Méthode Giri-Grossman-Soffer-Zupan  
 (GGSZ)

## Principe de la méthode GGSZ



Etat final à 3 corps :

- accessible par plusieurs voies
- analyse de Dalitz

$$\mathcal{A}_{B^\mp}(m_\mp^2, m_\pm^2) = \mathcal{A}(B^\mp \rightarrow \text{DK}) \left[ \mathcal{A}_D(m_\mp^2, m_\pm^2) + \kappa r_{(s)B}^{(*)} e^{i(\delta_{(s)B}^{(*)} \mp \gamma)} \mathcal{A}_D(m_\pm^2, m_\mp^2) \right]$$

$$m_\pm^2 = m_{K_s h^\pm}^2$$

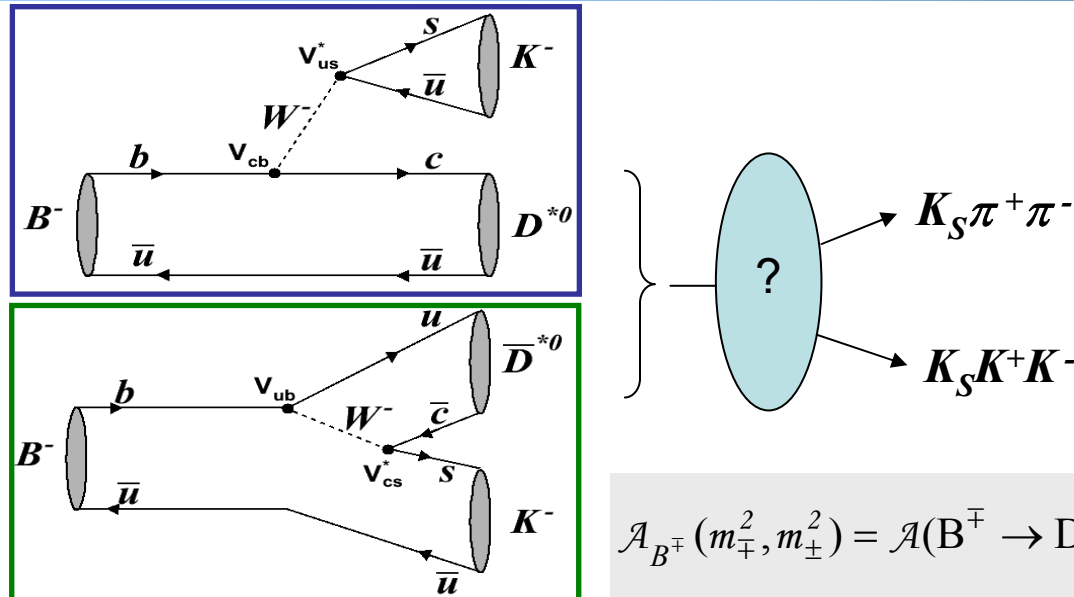
$\kappa = +1$  pour  $D\bar{K}$ ,  $D^{*0}(D^0\pi^0)$   
 $\kappa = -1$  pour  $D^{*0}(D^0\gamma)$   
 $0 \leq \kappa \leq 1$  pour  $DK^*$

Si interférence avec  $B^\pm \rightarrow D(K_S \pi^\pm)_{\text{non-}K^*} \rightarrow$   
 $\kappa \rightarrow 1 \quad r_{sB} \rightarrow r_B \quad \delta_{sB} \rightarrow \delta_B$

Violation de  $CP$   
 Mesure de  $\gamma$  avec les  $B^\pm$   
 Mesure de  $\sin(2\beta+\gamma)$  avec les  
 $B^0$   
 Perspectives sur la mesure de  $\gamma$

*Principes*  
*Méthode Gronau-London-Wyler (GLW)*  
*Méthode Atwood-Dunietz-Soni (ADS)*  
*Méthode Giri-Grossman-Soffer-Zupan (GGSZ)*

## Principe de la méthode GGSZ



Etat final à 3 corps :

- accessible par plusieurs voies
- analyse de Dalitz

$$\mathcal{A}_{B^\mp}(m_\mp^2, m_\pm^2) = \mathcal{A}(B^\mp \rightarrow DK) \left[ \mathcal{A}_D(m_\mp^2, m_\pm^2) + \kappa r_{(s)B}^{(*)} e^{i(\delta_{(s)B}^{(*)} \mp \gamma)} \mathcal{A}_D(m_\pm^2, m_\mp^2) \right]$$

Coordonnées cartésiennes:

$$x_{(s)\pm}^{(*)} = Re \left( r_{(s)B}^{(*)} e^{i(\delta_{(s)B}^{(*)} \pm \gamma)} \right)$$

$$y_{(s)\pm}^{(*)} = Im \left( r_{(s)B}^{(*)} e^{i(\delta_{(s)B}^{(*)} \pm \gamma)} \right)$$



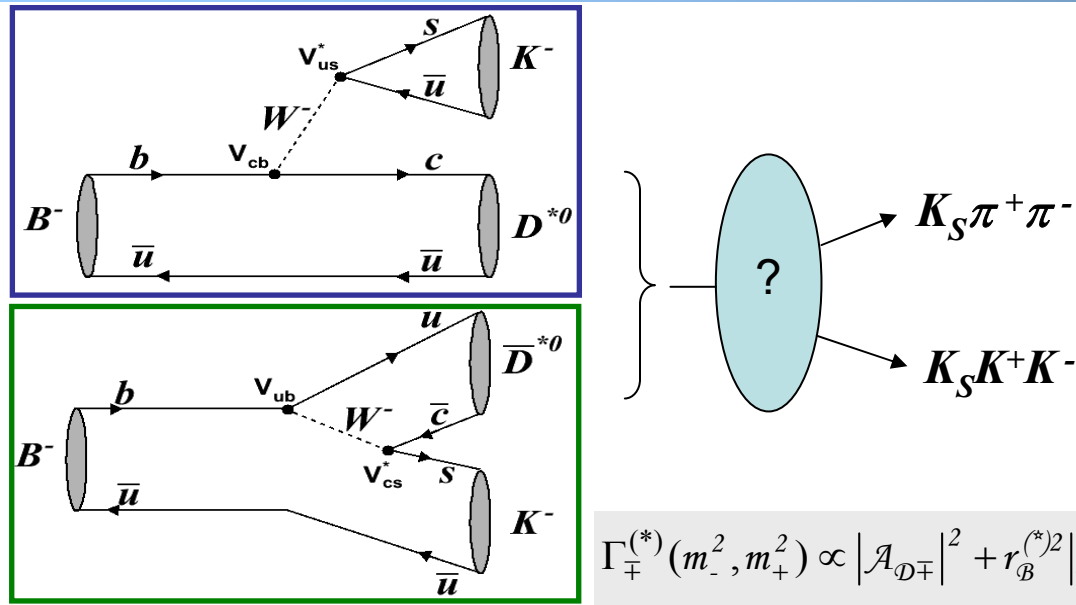
Basse stat. et  $r_B$  petit:  
 ■ Non biaisées  
 ■ Gaussiennes

$$\Gamma_\mp^{(*)}(m_-^2, m_+^2) \propto |\mathcal{A}_{D\mp}|^2 + r_B^{(*)2} |\mathcal{A}_{D\pm}|^2 + 2\kappa \left( x_\mp^{(*)} \operatorname{Re}[\mathcal{A}_{D\mp} \mathcal{A}_{D\pm}^*] + y_\mp^{(*)} \operatorname{Im}[\mathcal{A}_{D\mp} \mathcal{A}_{D\pm}^*] \right)$$

Violation de  $CP$   
 Mesure de  $\gamma$  avec les  $B^\pm$   
 Mesure de  $\sin(2\beta+\gamma)$  avec les  
 $B^0$   
 Perspectives sur la mesure de  $\gamma$

Principes  
 Méthode Gronau-London-Wyler (GLW)  
 Méthode Atwood-Dunietz-Soni (ADS)  
 Méthode Giri-Grossman-Soffer-Zupan  
 (GGSZ)

## Principe de la méthode GGSZ



Etat final à 3 corps :

- accessible par plusieurs voies
- analyse de Dalitz

$$\Gamma_{\mp}^{(*)}(m_-^2, m_+^2) \propto |\mathcal{A}_{D\mp}|^2 + r_B^{(*)2} |\mathcal{A}_{D\pm}|^2 + 2\kappa \left( x_{\mp}^{(*)} \operatorname{Re}[\mathcal{A}_{D\mp} \mathcal{A}_{D\pm}^*] + y_{\mp}^{(*)} \operatorname{Im}[\mathcal{A}_{D\mp} \mathcal{A}_{D\pm}^*] \right)$$

1- Mesure de  $\mathcal{A}_D$  sur échantillons de contrôle

2- Ajustement du plan de Dalitz

$$\begin{aligned} B^- &\rightarrow [K_S \pi^+ \pi^-]_{D^{(*)}} K^{(*)-} \\ B^- &\rightarrow [K_S K^+ K^-]_{D^{(*)}} K^{(*)-} \end{aligned}$$

3- Niveau de confiance sur  $r_{(s)B}^{(*)}, \delta_{(s)B}^{(*)}, \gamma$

Etapes de l'analyse

Violation de  $CP$   
 Mesure de  $\gamma$  avec les  $B^\pm$   
 Mesure de  $\sin(2\beta+\gamma)$  avec les  
 $B^0$   
 Perspectives sur la mesure de  $\gamma$

Principes  
 Méthode Gronau-London-Wyler (GLW)  
 Méthode Atwood-Dunietz-Soni (ADS)  
 Méthode Giri-Grossman-Soffer-Zupan  
 (GGSZ)

## Mesure des amplitudes $A_D$

### Description théorique

Résonances  $D \rightarrow R + c$   
 $\hookrightarrow a+b$

$$\mathcal{A}_D(m_-^2, m_+^2) = \underbrace{\sum_{r \neq \pi\pi} a_r e^{i\phi_r} \mathcal{A}_r(m_-^2, m_+^2)}_{\text{Modèle de Breit-Wigner}} + a_{NR} e^{i\phi_{NR}} + F_1(s)$$

Non résonant

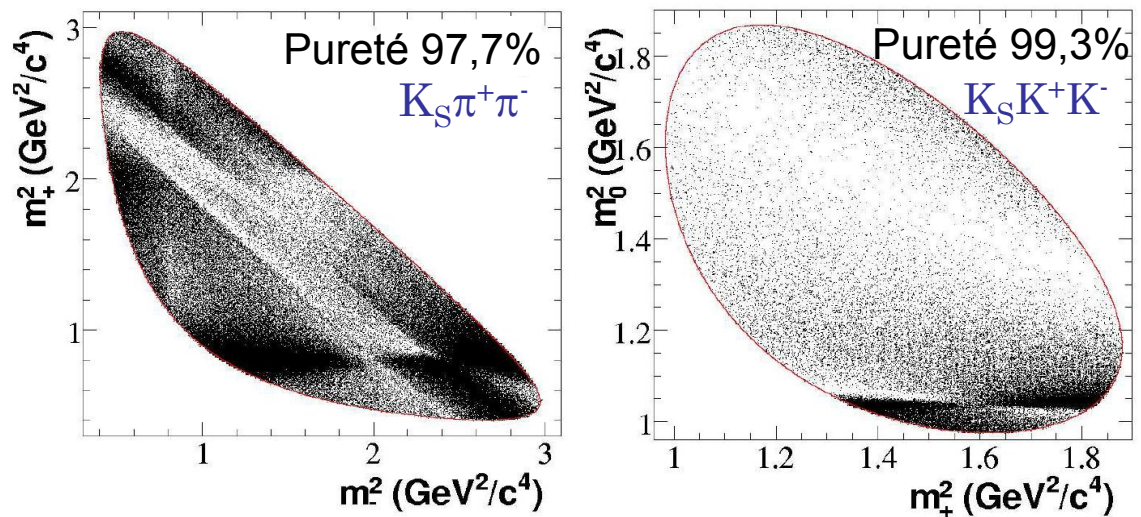
Contribution de  $\pi\pi$  S-wave

- Spécifique à  $K_S \pi^+ \pi^-$
- Formalisme  $K$ -matrix

### Description expérimentale

Echantillons hte stat.

*tagging*  
 $D^{*+} \rightarrow D^0 (K_s h^+ h^-) \pi^+$



## K $\pi$ P,D waves

Component	$Re\{a_r e^{i\phi_r}\}$	$Im\{a_r e^{i\phi_r}\}$	Fraction (%)
$K^*(892)^-$	$-1.314 \pm 0.010$	$1.141 \pm 0.009$	$55.7 \pm 2.8$
$K_0^*(1430)^-$	$-7.3 \pm 0.4$	$3.7 \pm 1.2$	$10.2 \pm 1.5$
$K_2^*(1430)^-$	$-1.054 \pm 0.019$	$0.936 \pm 0.025$	$2.2 \pm 1.6$
$K^*(1680)^-$	$-1.45 \pm 0.10$	$-0.16 \pm 0.10$	$0.7 \pm 1.9$
$K^*(892)^+$	$0.116 \pm 0.004$	$-0.107 \pm 0.003$	$0.46 \pm 0.23$
$K_0^*(1430)^+$	$-0.26 \pm 0.05$	$0.19 \pm 0.07$	$< 0.05$
$K_2^*(1430)^+$	$0.008 \pm 0.017$	$0.091 \pm 0.016$	$< 0.12$
$\rho(770)$	1	0	$21.0 \pm 1.6$
$\omega(782)$	$-0.031 \pm 0.001$	$0.042 \pm 0.001$	$0.9 \pm 1.0$
$f_2(1270)$	$-0.559 \pm 0.026$	$0.232 \pm 0.023$	$0.6 \pm 0.7$

## $\pi\pi$ S-wave

$\beta_1$	$1.82 \pm 0.25$	$-9.1 \pm 0.4$
$\beta_2$	$-10.18 \pm 0.19$	$-3.9 \pm 0.5$
$\beta_3$	$-23.7 \pm 2.0$	$5.0 \pm 1.6$
$\beta_4$	$-0.1 \pm 0.4$	$9.16 \pm 0.24$
$f_{11}^{\text{prod}}$	$2.19 \pm 0.15$	$7.6 \pm 0.3$
$f_{12}^{\text{prod}}$	$1.9 \pm 0.3$	$-0.6 \pm 0.3$
$f_{13}^{\text{prod}}$	$4.3 \pm 0.3$	$2.8 \pm 0.3$
$f_{14}^{\text{prod}}$	$3.22 \pm 0.18$	$0.27 \pm 0.14$
$s_0^{\text{prod}}$	$-0.07 \pm 0.03$	
$\pi\pi$ S-wave		$11.9 \pm 2.6$

## K $\pi$ S-wave

$a$	$1.07 \pm 0.11$
$r$	$-1.8 \pm 0.3$
$B$	$0.80 \pm 0.09$
$R$	1
$\phi_B$	$2.33 \pm 0.13$
$\phi_R$	$-5.31 \pm 0.04$
$M$ (GeV/c $^2$ )	$1.463 \pm 0.002$
$\Gamma$ (GeV/c $^2$ )	$0.233 \pm 0.005$

## Violation de CP

Mesure de  $\gamma$  avec les  $B^\pm$

Mesure de  $\sin(2\beta + \gamma)$  avec les

$B^0$

Perspectives sur la mesure de  $\gamma$

## Principes

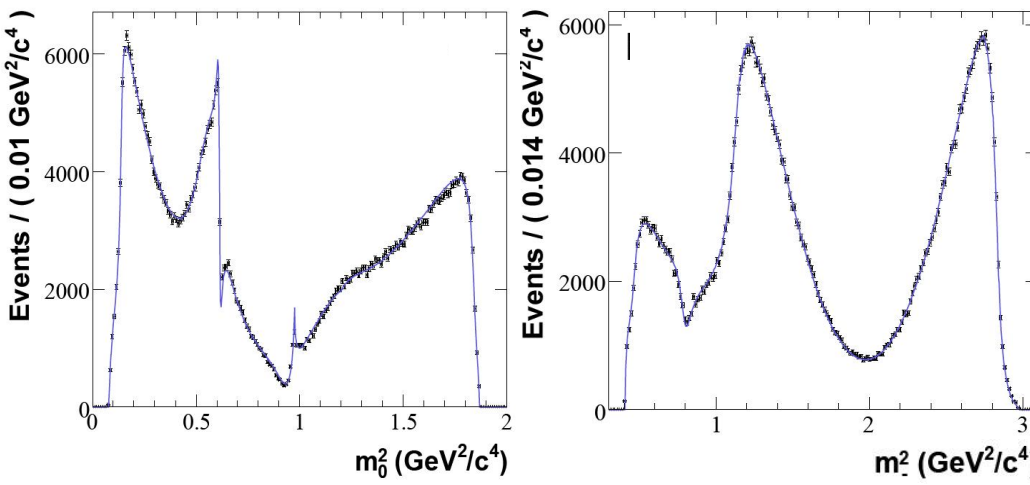
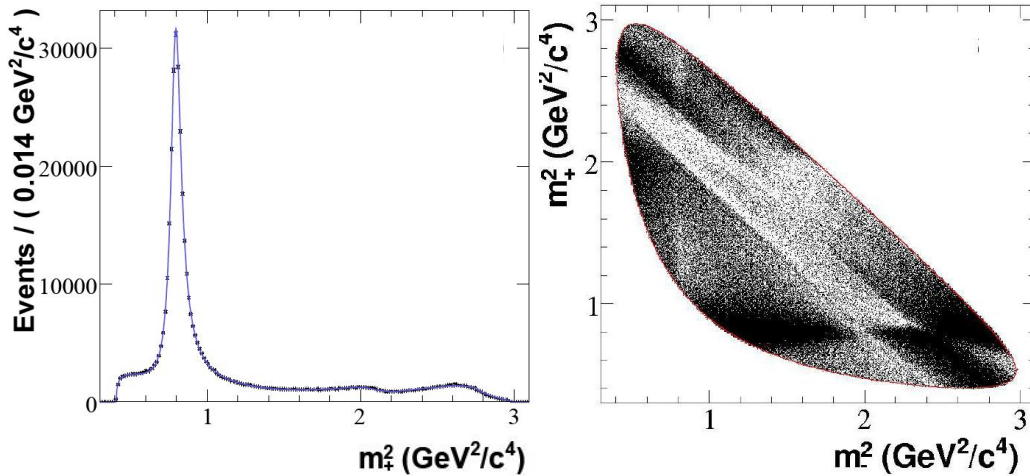
Méthode Gronau-London-Wyler (GLW)

Méthode Atwood-Dunietz-Soni (ADS)

Méthode Giri-Grossman-Soffer-Zupan

(GGSZ)

## Plan de Dalitz $D^0 \rightarrow K_s \pi^+ \pi^-$



## Violation de $CP$

Mesure de  $\gamma$  avec les  $B^\pm$

Mesure de  $\sin(2\beta+\gamma)$  avec les

$B^0$

Perspectives sur la mesure de  $\gamma$

## Principes

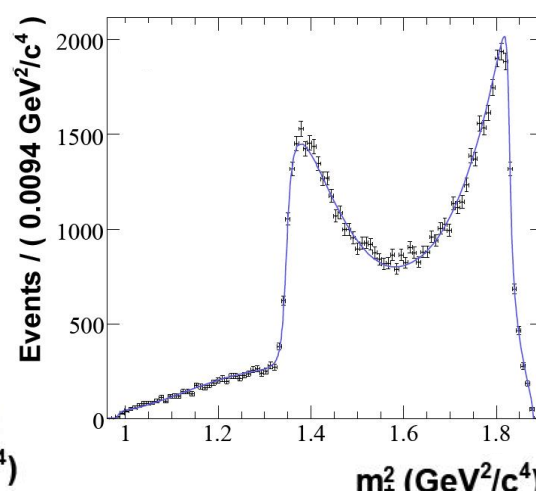
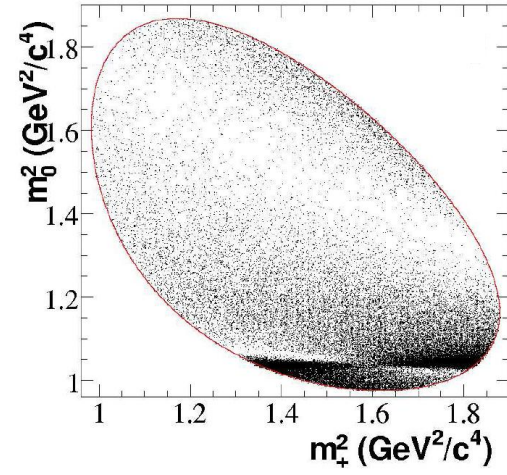
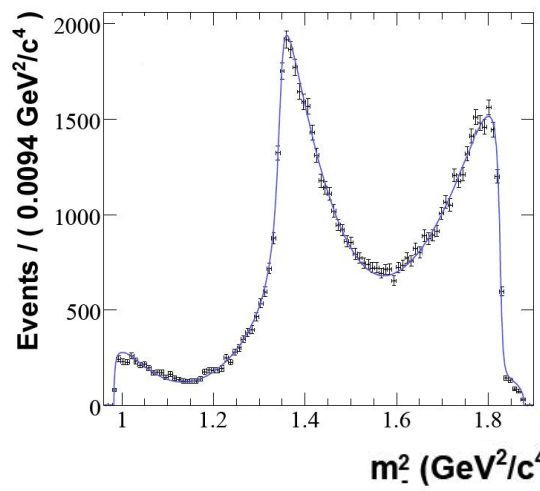
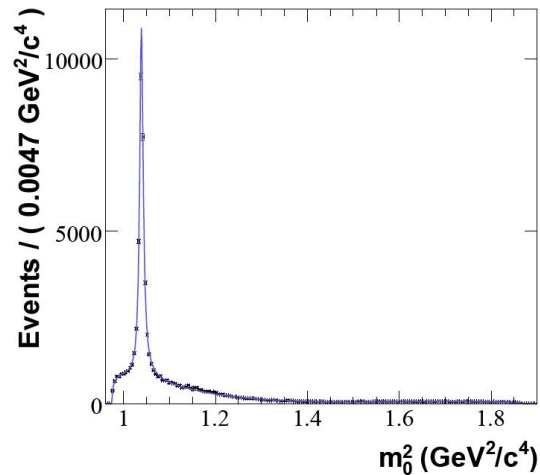
Méthode Gronau-London-Wyler (GLW)

Méthode Atwood-Dunietz-Soni (ADS)

Méthode Giri-Grossman-Soffer-Zupan  
(GGSZ)

## Modèle de Dalitz $D^0 \rightarrow K_s K^+ K^-$

Component	$Re\{a_r e^{i\phi_r}\}$	$Im\{a_r e^{i\phi_r}\}$	Fraction (%)
$K_S a_0(980)^0$	1	0	55.8
$K_S \phi(1020)$	$-0.126 \pm 0.003$	$0.189 \pm 0.005$	44.9
$K_S f_0(1370)$	$-0.04 \pm 0.06$	$-0.00 \pm 0.05$	0.1
$K_S f_2(1270)$	$0.257 \pm 0.019$	$-0.041 \pm 0.026$	0.3
$K_S a_0(1450)^0$	$0.06 \pm 0.12$	$-0.65 \pm 0.09$	12.6
$K^- a_0(980)^+$	$-0.561 \pm 0.015$	$0.01 \pm 0.03$	16.0
$K^- a_0(1450)^+$	$-0.11 \pm 0.06$	$0.81 \pm 0.03$	21.8
$K^+ a_0(980)^-$	$-0.087 \pm 0.016$	$0.079 \pm 0.014$	0.7



Violation de  $CP$

Mesure de  $\gamma$  avec les  $B^\pm$

Mesure de  $\sin(2\beta+\gamma)$  avec les

$B^0$

Perspectives sur la mesure de  $\gamma$

Principes

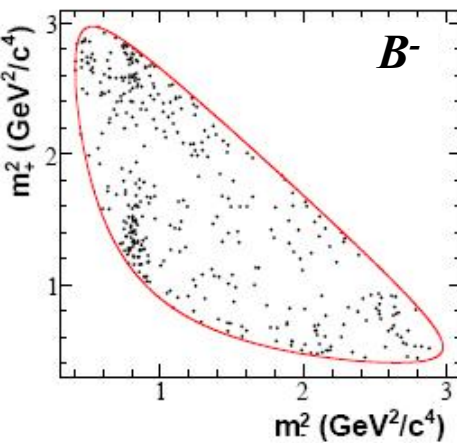
Méthode Gronau-London-Wyler (GLW)

Méthode Atwood-Dunietz-Soni (ADS)

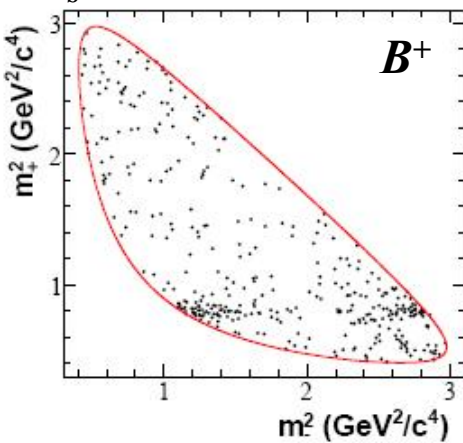
Méthode Giri-Grossman-Soffer-Zupan  
(GGSZ)

Ajustement des plans de Dalitz

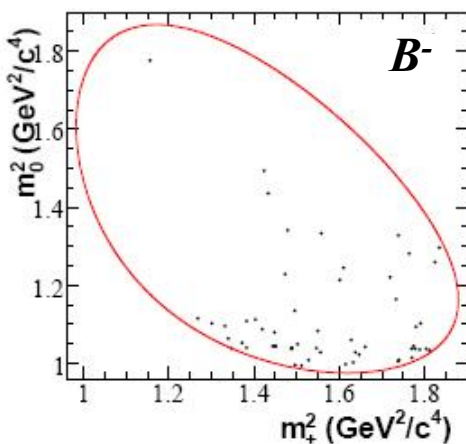
$B \rightarrow D^0 [K_s \pi^+ \pi^-] K$



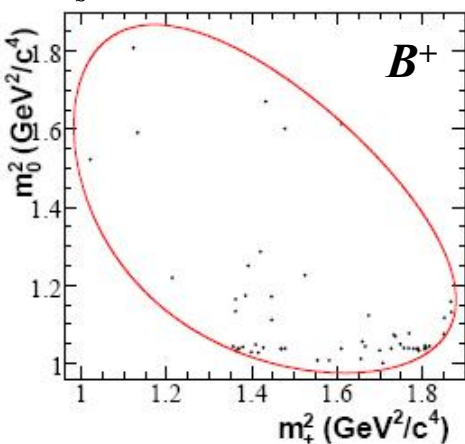
$B^+$



$B \rightarrow D^0 [K_s K^+ K^-] K$



$B^+$



Préliminaire

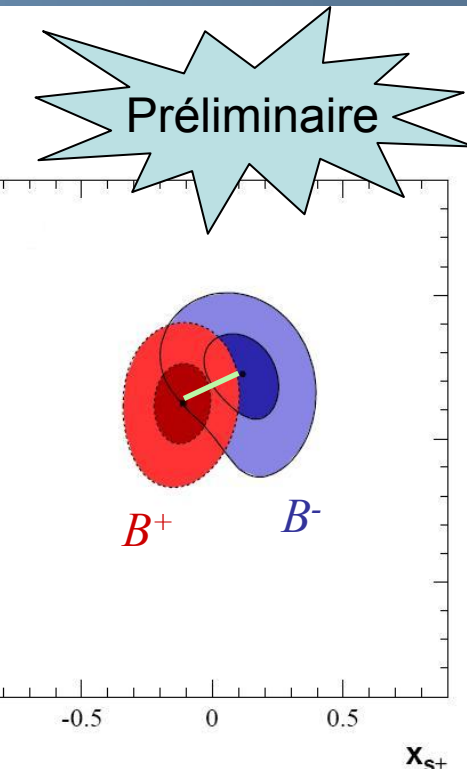
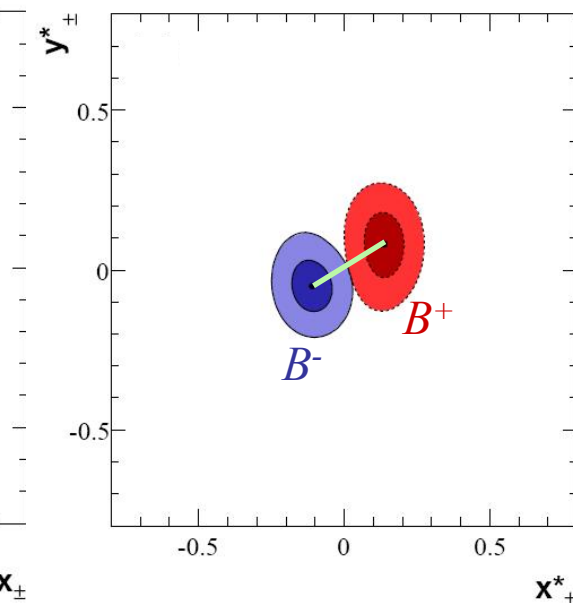
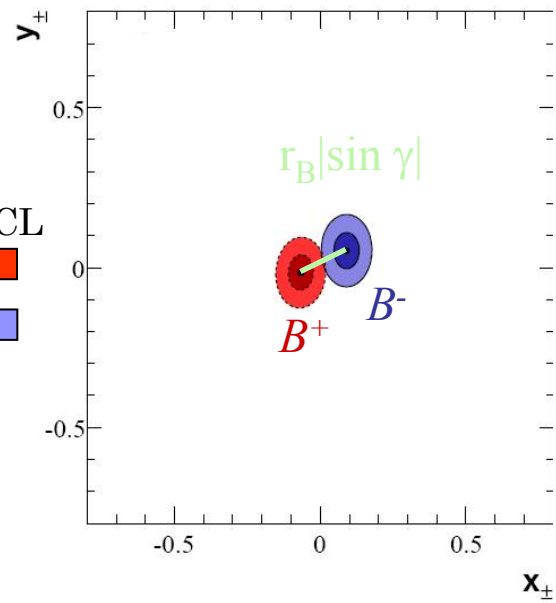
Nombre d'événements ajustés

	$K_s \pi^+ \pi^-$	$K_s K^+ K^-$
$DK$	$600 \pm 31$	$112 \pm 12$
$D^*(D^0 \pi^0)K$	$133 \pm 15$	$31 \pm 7$
$D^*(D^0 \gamma)K$	$129 \pm 15$	$20 \pm 6$
$DK^*$	$117 \pm 17$	-

Violation de  $CP$   
 Mesure de  $\gamma$  avec les  $B^\pm$   
 Mesure de  $\sin(2\beta+\gamma)$  avec les  
 $B^0$   
 Perspectives sur la mesure de  $\gamma$

*Principes*  
*Méthode Gronau-London-Wyler (GLW)*  
*Méthode Atwood-Dunietz-Soni (ADS)*  
*Méthode Giri-Grossman-Soffer-Zupan (GGSZ)*  
*Mesure des coordonnées cartésiennes*

**$K_S\pi^+\pi^-$  et  $K_SK^+$  combinés**



Parameters	$B^- \rightarrow \tilde{D}^0 K^-$	$B^- \rightarrow \tilde{D}^{*0} K^-$	$B^- \rightarrow \tilde{D}^0 K^{*-}$
$x_-$ , $x_-^*$ , $x_{s-}$	$0.090 \pm 0.043 \pm 0.014 \pm 0.011$	$-0.111 \pm 0.069 \pm 0.014 \pm 0.004$	$0.115 \pm 0.138 \pm 0.039 \pm 0.014$
$y_-$ , $y_-^*$ , $y_{s-}$	$0.053 \pm 0.056 \pm 0.007 \pm 0.015$	$-0.051 \pm 0.080 \pm 0.009 \pm 0.009$	$0.226 \pm 0.142 \pm 0.058 \pm 0.011$
$x_+$ , $x_+^*$ , $x_{s+}$	$-0.067 \pm 0.043 \pm 0.014 \pm 0.011$	$0.137 \pm 0.068 \pm 0.014 \pm 0.005$	$-0.113 \pm 0.107 \pm 0.028 \pm 0.018$
$y_+$ , $y_+^*$ , $y_{s+}$	$-0.015 \pm 0.055 \pm 0.006 \pm 0.008$	$0.080 \pm 0.102 \pm 0.010 \pm 0.012$	$0.125 \pm 0.139 \pm 0.051 \pm 0.010$

## Violation de $CP$

Mesure de  $\gamma$  avec les  $B^\pm$

Mesure de  $\sin(2\beta+\gamma)$  avec les

$B^0$

Perspectives sur la mesure de  $\gamma$

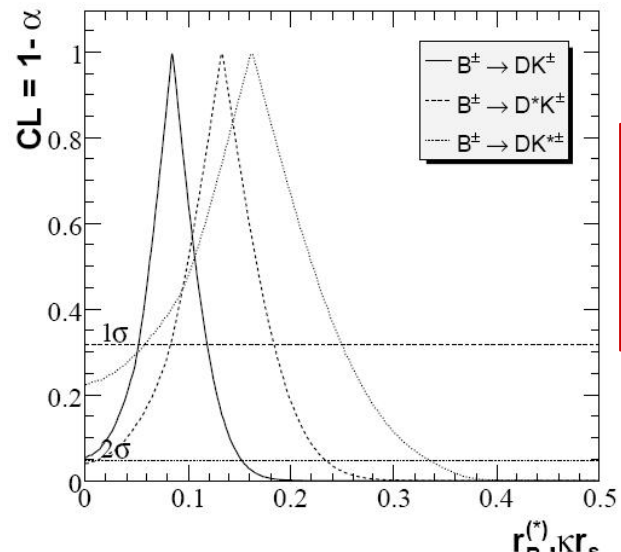
## Principes

Méthode Gronau-London-Wyler (GLW)

Méthode Atwood-Dunietz-Soni (ADS)

Méthode Giri-Grossman-Soffer-Zupan  
(GGSZ)

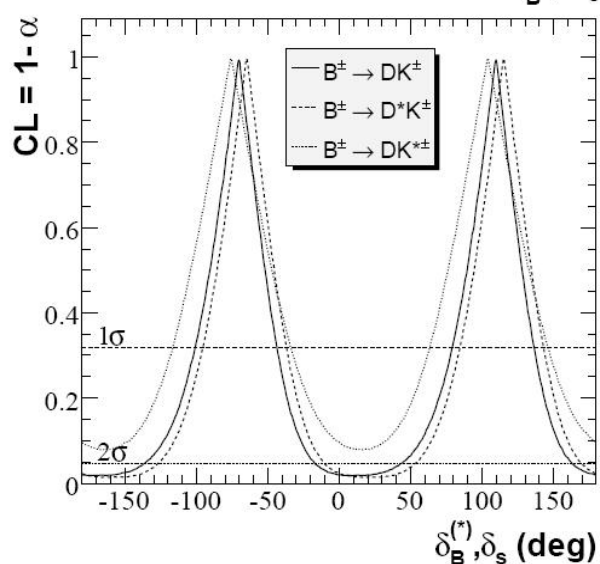
## Mesure des observables $CP$



$$r_B = 0,084^{+0,034}_{-0,033}$$

$$r_B^* = 0,133^{+0,051}_{-0,050}$$

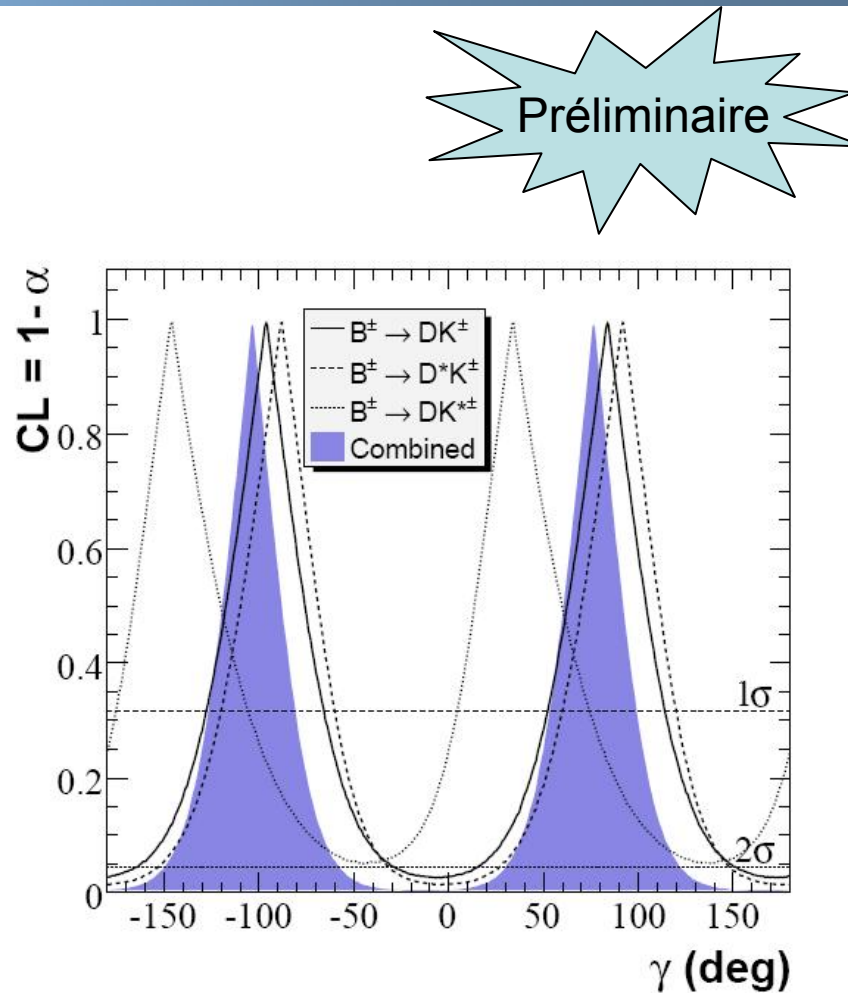
$$r_{sB} = 0,163^{+0,087}_{-0,105}$$



$$\delta_B = 110^{+27}_{-31}$$

$$\delta_B^* = -65^{+28}_{-31}$$

$$\delta_{sB} = 104^{+42}_{-41}$$



$$\gamma = (76 \pm 22 \pm 5 \pm 2)^\circ \text{ modulo } \pi$$



Violation de  $CP$   
 Mesure de  $\gamma$  avec les  $B^\pm$   
 Mesure de  $\sin(2\beta+\gamma)$  avec les  
 $B^0$

Perspectives sur la mesure de  $\gamma$

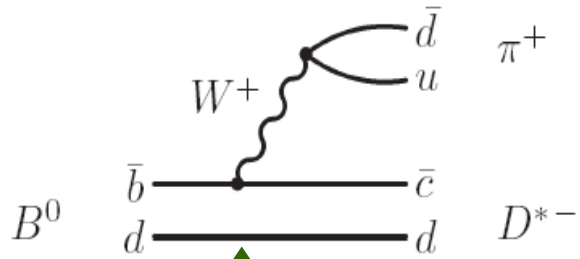
Principe  
 Spécificités de l'analyse des  $B^0$   
 Résultats

Mesures indirectes:  $B^0 \rightarrow D^{(*)} - X^+$

Principe similaire à  $B^\pm \rightarrow D^{(*)0} K^{*\pm}$

### Favorisé de Cabibbo

$$A_{CF} (B^0 \rightarrow D^{(*)-} X^+) \propto V_{cb} V_{ud}^*$$



État final commun  $\Leftrightarrow$  interférence  $\Leftrightarrow$  accès à  $\sin(2\beta+\gamma)$

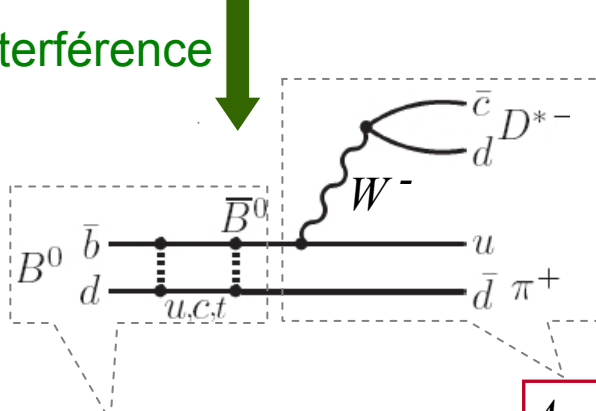
Taux de désintégrations dépendants du temps

$$P(B^0 \rightarrow D^{(*)\mp} \pi^\pm, \Delta t) \propto 1 \pm C^{(*)} \cos(\Delta m_d \Delta t) + S^{(*)\mp} \sin(\Delta m_d \Delta t)$$

$$P(\bar{B}^0 \rightarrow D^{(*)\mp} \pi^\pm, \Delta t) \propto 1 \mp C^{(*)} \cos(\Delta m_d \Delta t) - S^{(*)\pm} \sin(\Delta m_d \Delta t)$$

$$C^{(*)} = \frac{1 - r^{(*)2}}{1 + r^{(*)2}} \approx 1 \quad S^{(*)\pm} = \frac{2r^{(*)2}}{1 + r^{(*)2}} \sin(2\beta + \gamma \pm \delta^{(*)})$$

$$r^{(*)} = \frac{|A_{DCS}|}{|A_{CF}|} \sim 2\%$$



Mélange  $B^0 - \bar{B}^0$ :  
 phase supplémentaire  $2\beta$

$$A_{DCS} (\bar{B}^0 \rightarrow D^{(*)-} X^+) \propto V_{ub} V_{cd}^*$$

$$\propto A_{CF} r^{(*)} e^{i(\delta^{(*)} - \gamma)}$$

Doublement Cabibbo Supprimé

Violation de  $CP$   
 Mesure de  $\gamma$  avec les  $B^\pm$   
 Mesure de  $\sin(2\beta+\gamma)$  avec les  
 $B^0$

Perspectives sur la mesure de  $\gamma$

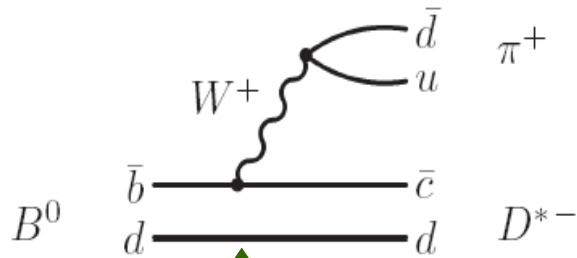
*Principe*  
*Spécificités de l'analyse des  $B^0$*   
*Résultats*

Mesures indirectes:  $B^0 \rightarrow D^{(*)} - X^+$

Principe similaire à  $B^\pm \rightarrow D^{(*)0} K^{*\pm}$

### Favorisé de Cabibbo

$$A_{CF}(B^0 \rightarrow D^{(*)-} X^+) \propto V_{cb} V_{ud}^*$$

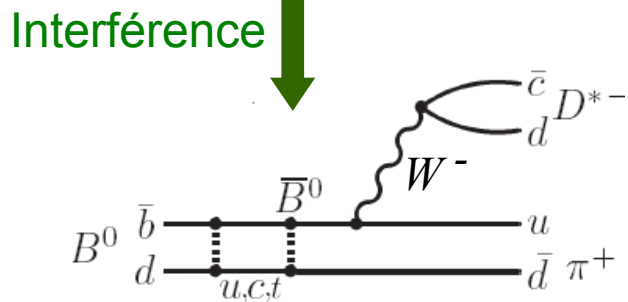


État final commun  $\Leftrightarrow$  interférence  $\Leftrightarrow$  accès à  $\sin(2\beta+\gamma)$

Taux de désintégrations dépendants du temps

$$P(B^0 \rightarrow D^{(*)\mp} \pi^\pm, \Delta t) \propto 1 \pm C^{(*)} \cos(\Delta m_d \Delta t) + S^{(*)\mp} \sin(\Delta m_d \Delta t)$$

$$P(\bar{B}^0 \rightarrow D^{(*)\mp} \pi^\pm, \Delta t) \propto 1 \mp C^{(*)} \cos(\Delta m_d \Delta t) - S^{(*)\pm} \sin(\Delta m_d \Delta t)$$



- Théoriquement propres
- Grands BR pour CF ( $\sim 10^{-3}$ )
- Petits BR pour modes supprimés

$\Leftrightarrow$  Asymétries  $CP$  faibles

$\Leftrightarrow r^{(*)}$  non measurable avec stat. actuelle

$\Leftrightarrow$  Mesures de  $S^+$  et  $S^-$  déterminent

$(2\beta+\gamma)$  et  $\delta$  si  $r^{(*)}$  est un input externe

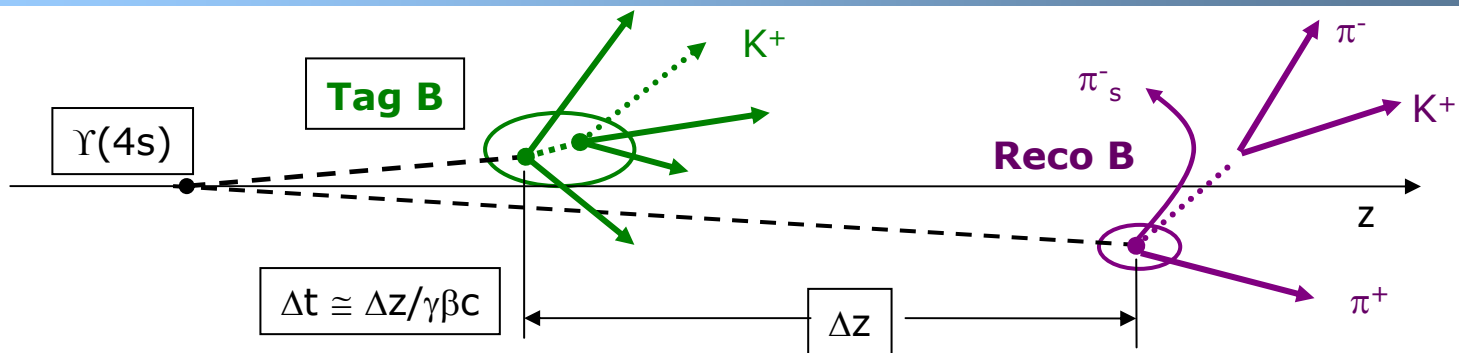
Doublement Cabibbo Supprimé

Violation de  $CP$   
Mesure de  $\gamma$  avec les  $B^\pm$   
Mesure de  $\sin(2\beta+\gamma)$  avec les  
 $B^0$

Perspectives sur la mesure de  $\gamma$

Principe  
Spécificités de l'analyse des  $B^0$   
Résultats

## Mesure de $\Delta t$



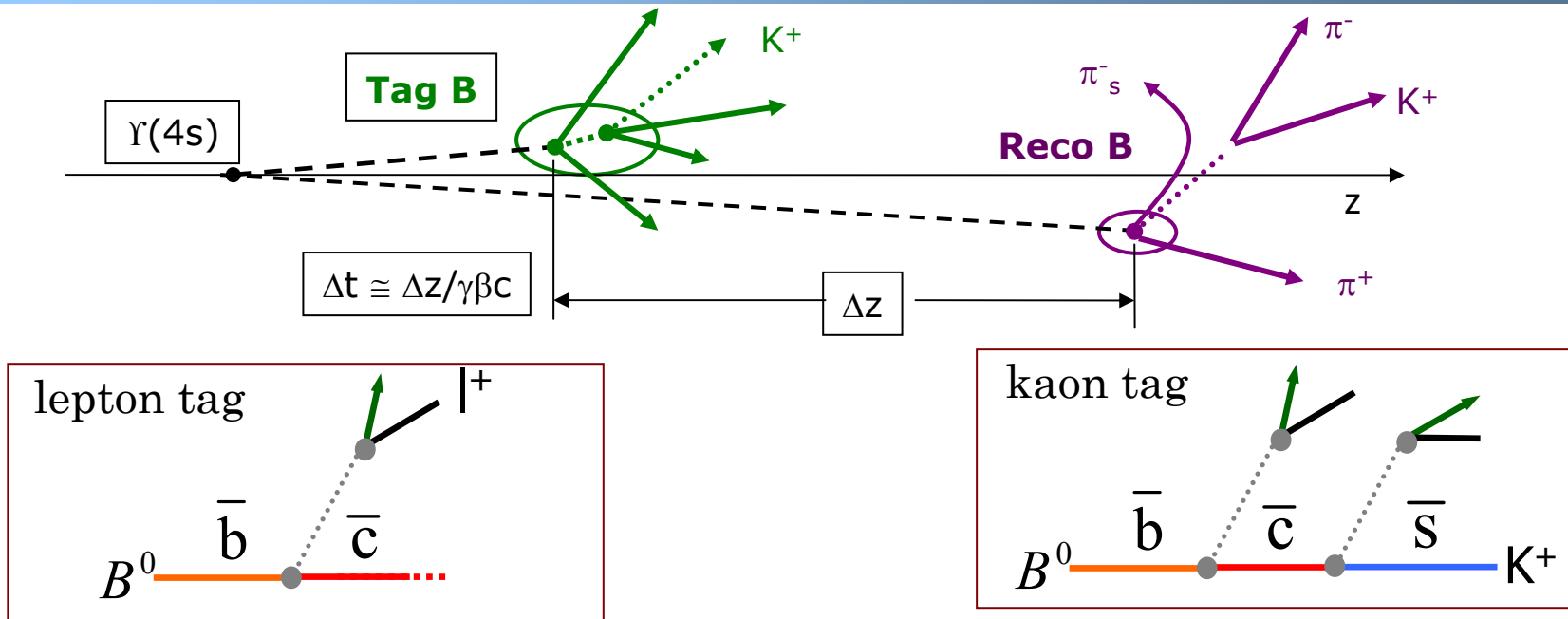
- Boost du  $\gamma(4S)$
- Mesure de la séparation spatiale  $\Delta z \approx 260 \mu m$
- Pas besoin de connaître vertex de production
- Résolution=1,1ps

Violation de  $CP$   
 Mesure de  $\gamma$  avec les  $B^\pm$   
 Mesure de  $\sin(2\beta + \gamma)$  avec les  
 $B^0$

Perspectives sur la mesure de  $\gamma$

Principe  
 Spécificités de l'analyse des  $B^0$   
 Résultats

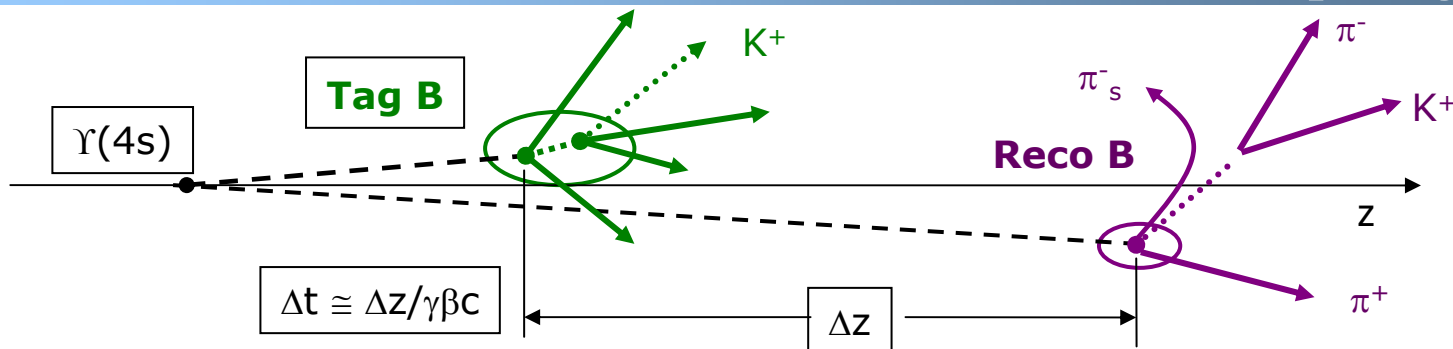
## Etiquetage du $B^0$



## Mistagging

- « wrong-sign » lepton ou K provenant de l'autre  $B$
- PID incorrect

## Etiquetage du $B^0$



Kaon tag:

- Effets potentiels violant  $CP$  dans modes  $B_{tag}$   
 $\Leftrightarrow r'$  et  $\delta'$  supplémentaires
- Comparable au signal  
 $\Leftrightarrow$  Distributions en temps modifiées

hep-ex/0504035

$\Leftrightarrow$  Paramétrisation alternative:

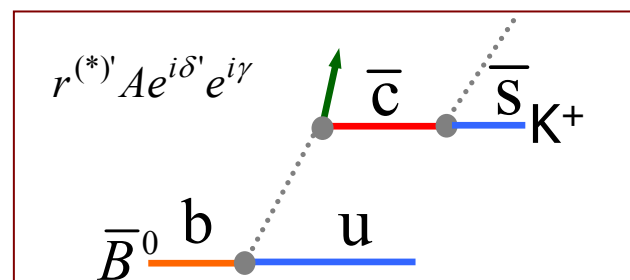
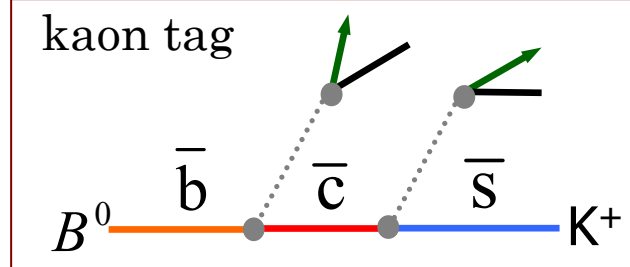
$$a^{(*)} = 2r^{(*)} \sin(2\beta + \gamma) \cos \delta^{(*)}$$

$$b = 2r' \sin(2\beta + \gamma) \cos \delta^{(*)}$$

$$c^{(*)} = 2 \cos(2\beta + \gamma) \left( r^{(*)} \sin \delta^{(*)} - r' \sin \delta' \right)$$

0 pour lepton tag

$$S^{(*)\pm} = (a^{(*)} \pm c^{(*)}) + b$$



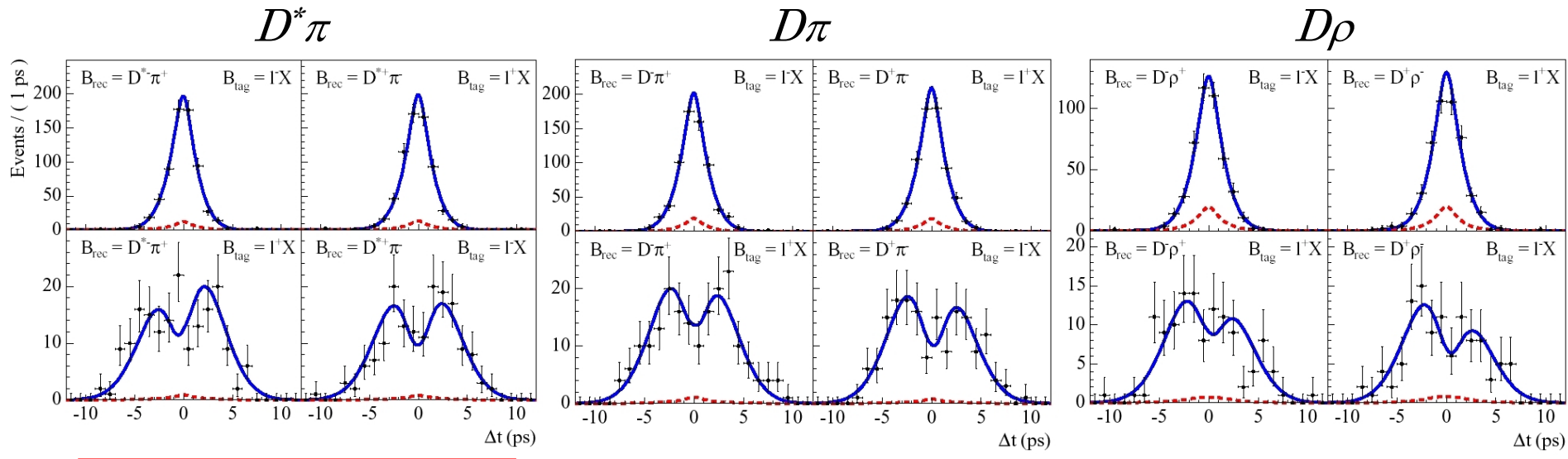
## Reconstruction complète

- Excellente pureté (80-90%)
- Efficacité de tagging limitée (30%)
- Statistique limitée

Phys.Rev.D73:111101, 2006

$232 \times 10^6 B\bar{B}$

(lepton tag: bruit et mistag faibles)



$$a^{D^*\pi} = -0.040 \pm 0.023 \pm 0.010$$

$$c_{lep}^{D^*\pi} = -0.049 \pm 0.042 \pm 0.015$$

$$a^{D\pi} = -0.010 \pm 0.023 \pm 0.007$$

$$c_{lep}^{D\pi} = -0.033 \pm 0.042 \pm 0.012$$

$$a^{D\rho} = -0.024 \pm 0.031 \pm 0.009$$

$$c_{lep}^{D\rho} = -0.098 \pm 0.055 \pm 0.018$$

## Reconstruction partielle

- Statistique ↗ ( $5\text{-}6 \times$  reconstruction complète)
- Pureté ↘
- Uniquement utilisable pour  $D^{*-}\pi^+$

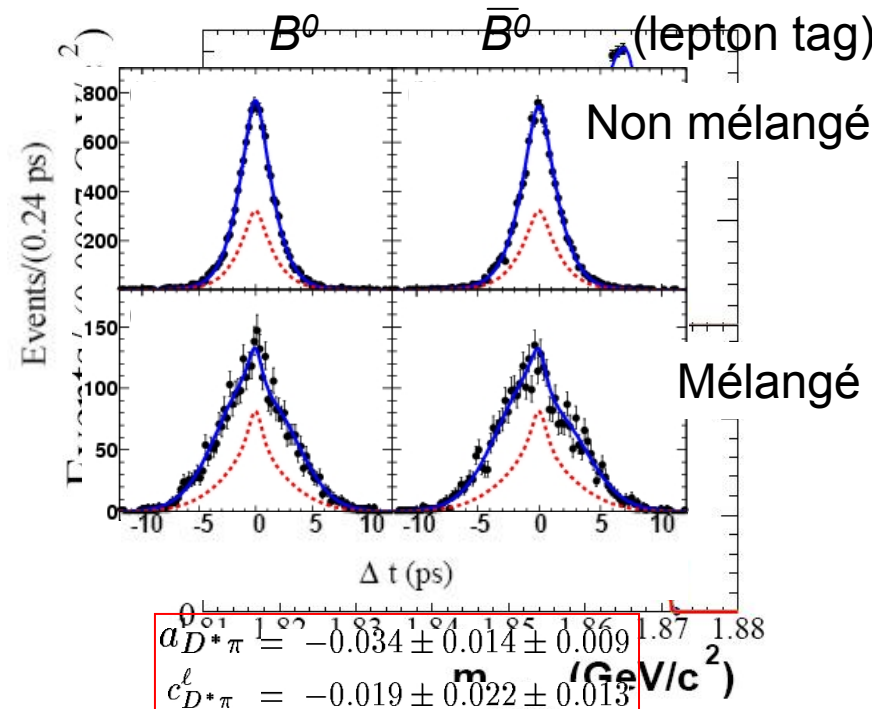
Phys.Rev.D71:112003, 2005  
 $232 \times 10^6 B\bar{B}$

$$\cos \theta_{Bh} = \frac{M_{D^{*-}}^2 - M_{B^0}^2 - M_\pi^2 + E_{CM} E_h}{2 p_B |\vec{p}_h|}$$

$$\sqrt{E_{CM}^2 / 4 - M_{B^0}^2}$$

$$m(\phi) \equiv \sqrt{|p_D(\phi)|^2}$$

$$m_{miss} \equiv \frac{m_{\max} + m_{\min}}{2}$$

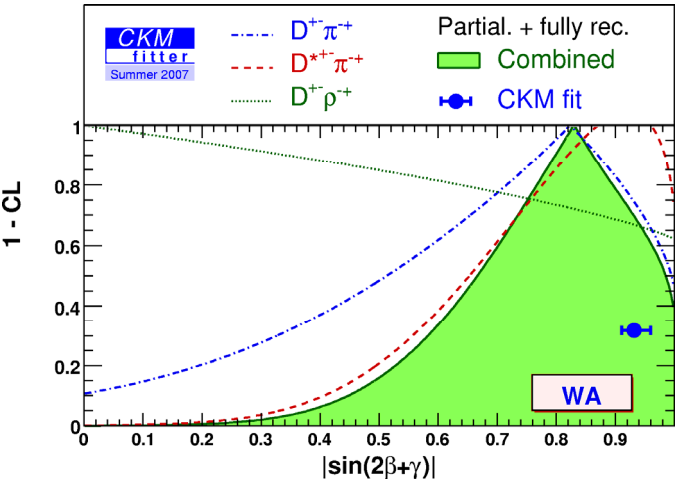


Violation de  $CP$   
 Mesure de  $\gamma$  avec les  $B^\pm$   
 Mesure de  $\sin(2\beta+\gamma)$  avec les  
 $B^0$

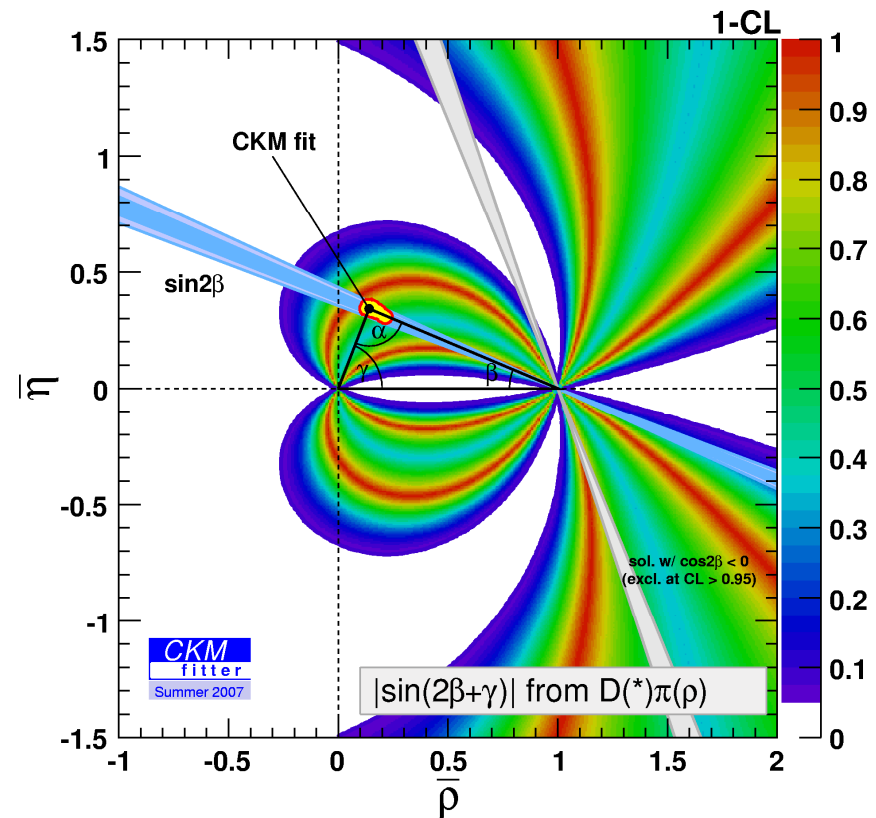
Perspectives sur la mesure de  $\gamma$

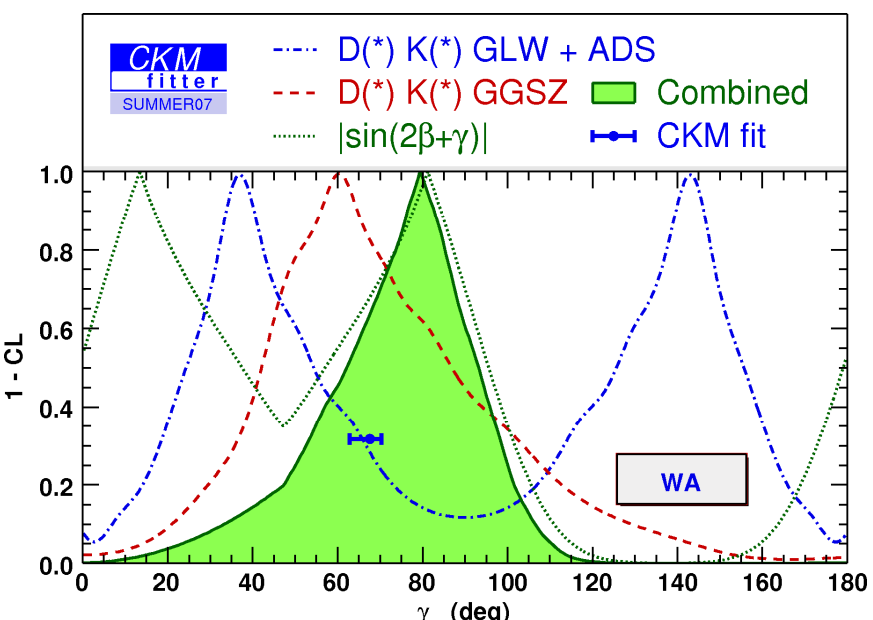
Principe  
 Spécificités de l'analyse des  $B^0$   
 Résultats

Sensibilité à  $\sin(2\beta+\gamma)$



→ Sensibilité faible car  $r^{(*)} = \frac{|A_{DCS}|}{|A_{CF}|}$  petit





- Besoin de combiner toutes les mesures

- *Tous les modes  $D^{(*)}K^{(*)}$*
- *Toutes les méthodes: GLW, ADS, GGSZ*
- *Mesures indirectes:  $\sin(2\beta+\gamma)$*
- *BaBar+BELLE*

Combinaison:  $\gamma = (80^{+19}_{-26})^\circ$   
 CKM fit:  $\gamma = (67,6^{+2,8}_{-4,5})^\circ$



N'inclut pas les résultats GGSZ les plus récents présentés  
dans  
ce séminaire

$\gamma = (76 \pm 22 \pm 5 \pm 2)^\circ \text{ modulo } \pi$

Violation de  $CP$   
Mesure de  $\gamma$  avec les  $B^\pm$   
Mesure de  $\sin(2\beta+\gamma)$  avec les  
 $B^0$

Perspectives sur la mesure de  $\gamma$

Auprès des usines à  $B$ ...  
...au LHC...  
...et au-delà

Auprès des usines à  $B$ ...

- BaBar: arrêt en Avril 2008

- Mise à jour des modes étudiés avec Runs 1 à 7
- Etudes d'autres modes:
  - GGSZ:  $B^- \rightarrow [\pi^+ \pi^- \pi^0]_D K^-$
  - GGSZ dépendant du temps  $B^0 \rightarrow [K_s \pi^+ \pi^-]_{D0} K^{*0}$ ,  $B^0 \rightarrow D^- K_s \pi^+$
  - $B^0 \rightarrow D^0 K_s$

- BELLE: continue la prise de données

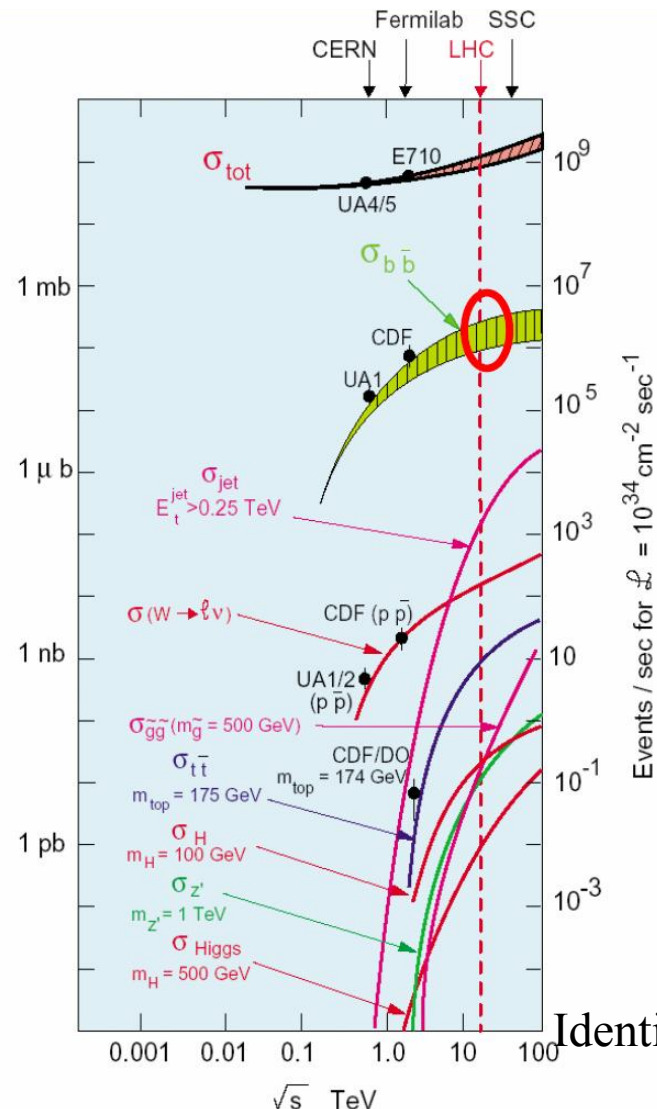
⇒ Pas d'amélioration majeure à venir

Violation de  $CP$   
 Mesure de  $\gamma$  avec les  $B^\pm$   
 Mesure de  $\sin(2\beta+\gamma)$  avec les  
 $B^0$

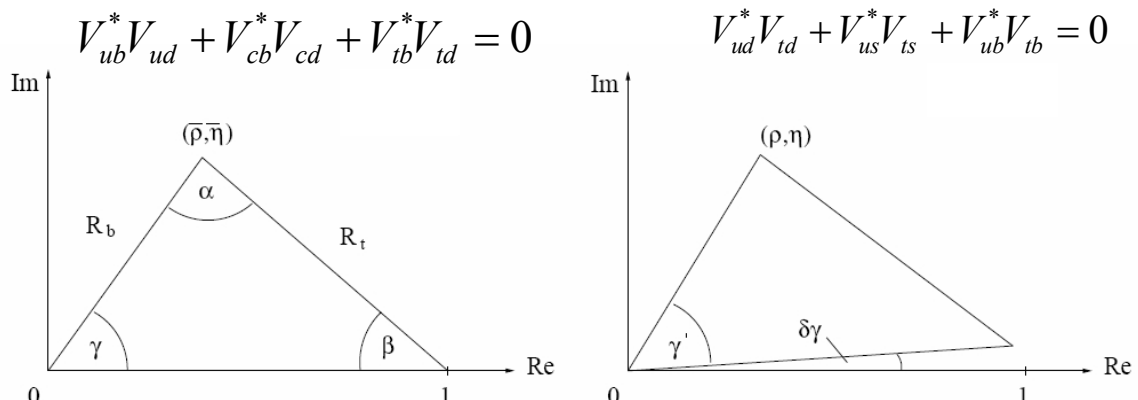
### Perspectives sur la mesure de $\gamma$

Auprès des usines à  $B$ ...  
 ...au LHC...  
 ...et au-delà

## Physique du $B$ au LHC



- $\sigma(pp \rightarrow b\bar{b}) = 500 \mu b$  (1,1 nb à 10,58 GeV en  $e^+e^-$ )
- ATLAS, CMS:
  - période basse luminosité
  - Canaux rares + modes avec contributions NP
- LHCb:
  - Dédiée à la physique du  $B$
  - **Mesure de  $\gamma$  centrale**



Identiques à  $\lambda^3$ , mais à  $\mathcal{L}_{LHC}$ , précision requiert d'aller au-delà de  $\lambda^3$

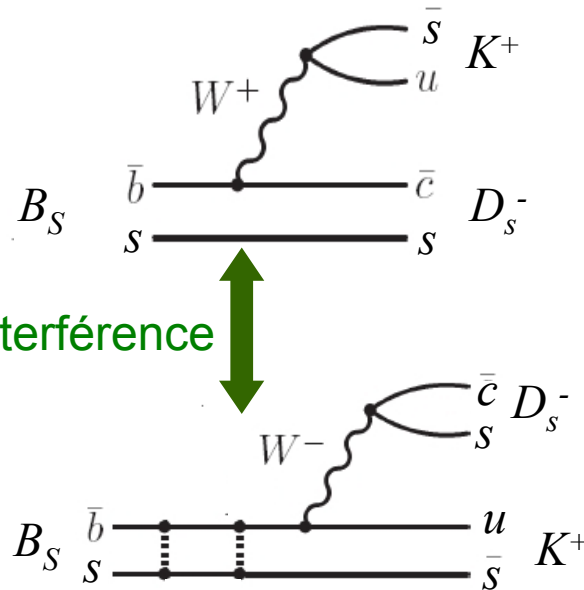
↳ Seuls  $V_{td}$  et  $V_{ub}$  ont une phase complexe

Violation de  $CP$   
 Mesure de  $\gamma$  avec les  $B^\pm$   
 Mesure de  $\sin(2\beta+\gamma)$  avec les  
 $B^0$

### Perspectives sur la mesure de $\gamma$

Auprès des usines à  $B$ ...  
 ...au LHC...  
 ...et au-delà

$\phi_s + \gamma$  avec  $B_s \rightarrow D_s^+ K^-$   
 $= -2\chi$ :  $B_s \rightarrow J/\psi \phi$

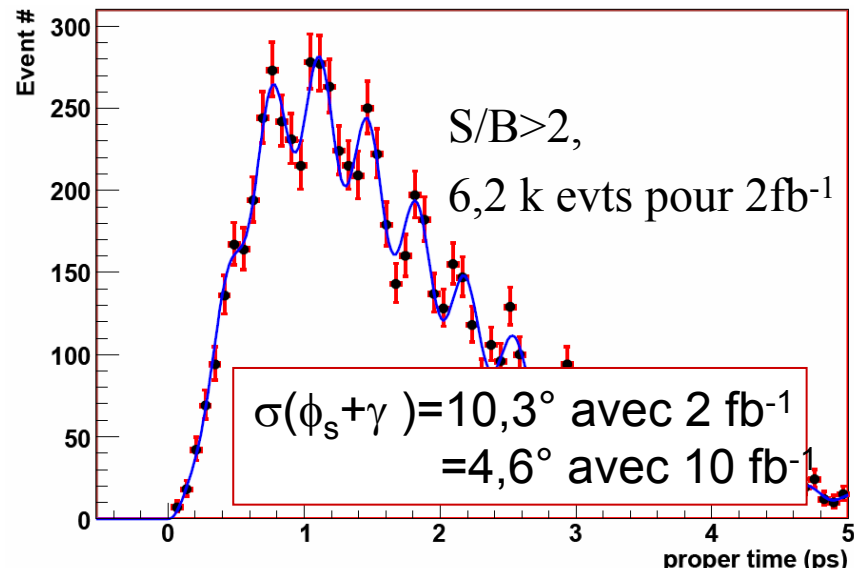


$$r = \frac{A(b \rightarrow u)}{A(b \rightarrow c)} \sim 0,41$$

⇒ Interférences importantes

### Accès à $\gamma$ avec le $B_s$

- Equivalent de  $\sin(2\beta+\gamma)$ 
  - Théoriquement propre
  - $\phi_s$  mesuré avec précision
- Importance du PID ( $B_s \rightarrow D_s^+ \pi^-$ )



- Extension possible vers  $B_s \rightarrow D^{(*)}\phi$ ,  $D^{(*)-}K^{(*)+}$

Violation de  $CP$   
 Mesure de  $\gamma$  avec les  $B^\pm$   
 Mesure de  $\sin(2\beta+\gamma)$  avec les  
 $B^0$

### Perspectives sur la mesure de $\gamma$

Auprès des usines à  $B$ ...  
 ...au  $LHC$ ...  
 ...et au-delà

### Méthodes avec $B_{u,d}$

Mode	Méthode	$N_{\text{evts}}/(2\text{fb}^{-1})$	S/B	$\sigma(\gamma) (2 \text{ fb}^{-1})$	BaBar+Belle
$B^- \rightarrow D^0 [K\pi, K3\pi] K^-$	GLW+ADS	112 k	0,6	$\sim 5-15^\circ$	Aucune contrainte
$B^- \rightarrow D^0 [K\pi, K3\pi] K^-$		1,4 k	3		
$B^- \rightarrow D^0_{CP} [KK, \pi\pi] K^-$		7,6 k	2		
$B^- \rightarrow (K_S \pi^+ \pi^-) \bar{D} K^-$	GGSZ	5k	$\sim 1-5$	$\sim 8^\circ$	$\sim 22^\circ$
$B^0 \rightarrow D^0 [K^+ \pi^-] K^{*0}$		3,4 k	0.3	$\sim 7-10^\circ$	Non mesuré
$B^0 \rightarrow D^0 [K^- \pi^+] K^{*0}$		0,5 k	1.7		
$B^0 \rightarrow D^0_{CP} [KK, \pi\pi] K^{*0}$		0,6 k	0.4		
$B^0 \rightarrow D^{*-} \pi^+ \text{ excl.}$	Sin( $2\beta+\gamma$ )	84 k	12	$\sim 10^\circ$	Aucune contrainte
$B^0 \rightarrow D^{*-} \pi^+ \text{ incl.}$		260 k	3		
$B^0 \rightarrow D^{*-} a_1^+ \text{ incl.}$		360 k	4		

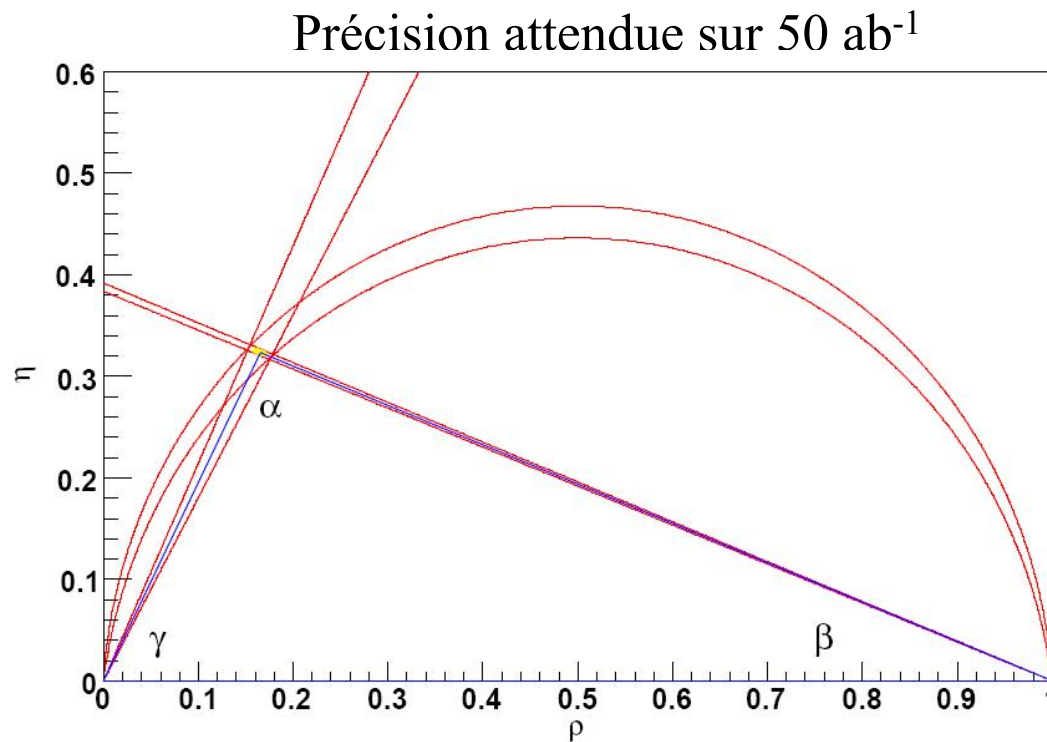
- D'autres méthodes envisagées:

- GGSZ 4 corps
- $B \rightarrow \pi K$
- $B \rightarrow \pi\pi, B_s \rightarrow KK$
- $B_{s,d} \rightarrow J/\psi K_S$

*LHCb: précision de  $5^\circ$  avec  $2 \text{ fb}^{-1}$   
 $2,5^\circ$  avec  $10 \text{ fb}^{-1}$*



- $\Upsilon(nS)$ ,  $n=1\dots 5$
- Usine à  $B_{u,d,s}$ ,  $D$ ,  $\tau$
- Luminosité  $\mathcal{O}(10^{36}) \text{ cm}^{-2}\text{s}^{-1}$



$\sigma(\alpha) \sim 2^\circ$   
 $\sigma(\beta) \sim 0.2^\circ$   
 $\sigma(\gamma) \sim 2^\circ$

- Mesurer  $\gamma$  avec précision est **fondamental**

- Améliorerait significativement la connaissance actuelle du triangle d'unitarité
- Test pour la Nouvelle Physique

Kobayashi-Maskawa matrix

- Mesurer  $\gamma$  avec précision est **difficile**

- Interférences faibles: besoin d'une grande statistique
- Meilleure contrainte obtenue avec la méthode de Dalitz
- Combiner les méthodes améliore un peu

- Bientôt l'ère de précision

- LHCb
- SuperB?

Violation de  $CP$   
Mesure de  $\gamma$  avec les  $B^\pm$   
Mesure de  $\sin(2\beta + \gamma)$  avec les  
 $B^0$   
Perspectives sur la mesure de  $\gamma$

Kobayashi-Maskawa matrix

$$\begin{bmatrix} V_{ud} & V_{us} & V_{ub} \\ V_{cd} & V_{cs} & V_{cb} \\ V_{td} & V_{ts} & V_{tb} \end{bmatrix}$$

Unitarity triangle

# Annexes

# Mélange $D^0$ - $\bar{D}^0$

Evolution/désintégration

(Etats propres du  $H$ )

$$|D_1\rangle = p|D^0\rangle + q|\bar{D}^0\rangle$$

$$|D_2\rangle = p|D^0\rangle - q|\bar{D}^0\rangle$$

$$\begin{cases} A_f = A(D^0 \rightarrow f) \\ A_{\bar{f}} = A(\bar{D}^0 \rightarrow f) \end{cases}$$

$$\begin{aligned} A(D^0(t) \rightarrow f) &= g_+(t, x, y) A_f + g_-(t, x, y) \bar{A}_f \\ A(\bar{D}^0(t) \rightarrow f) &= g_+(t, x, y) \bar{A}_f + g_-(t, x, y) A_f \end{aligned}$$

Production

(Etats propres de saveur)

Paramètres de mélange

$$x = \frac{\Delta m_D}{\Gamma_D} \quad y \equiv \frac{\Delta \Gamma_D}{2\Gamma_D}$$

$$\theta \equiv \arg\left(\frac{q}{p}\right)$$

- Problème potentiel: états finaux pourraient provenir de
  - Supprimé de Cabibbo ( $D^0 \rightarrow K^+ \pi^-$ )
  - mélange + Cabibbo Favorisé ( $D^0 \rightarrow D^0 \rightarrow K^+ \pi^-$ )
  - ⇒ Evolution temporelle dilue l'amplitude des termes d'interférence
  
- Mélange conserve  $CP$ : prédit par MS, et observé (BaBar, Belle, CDF)
  - 1<sup>er</sup> cas: paramètres de mélange connus ⇒ corrections calculables
  - 2<sup>nd</sup> cas: paramètres de mélange inconnus ⇒ effet < 1% ⇒ impact ~ 1° sur  $\gamma$ 
    - ⇒ pour l'ère de précision

# Modèle de Breit-Wigner

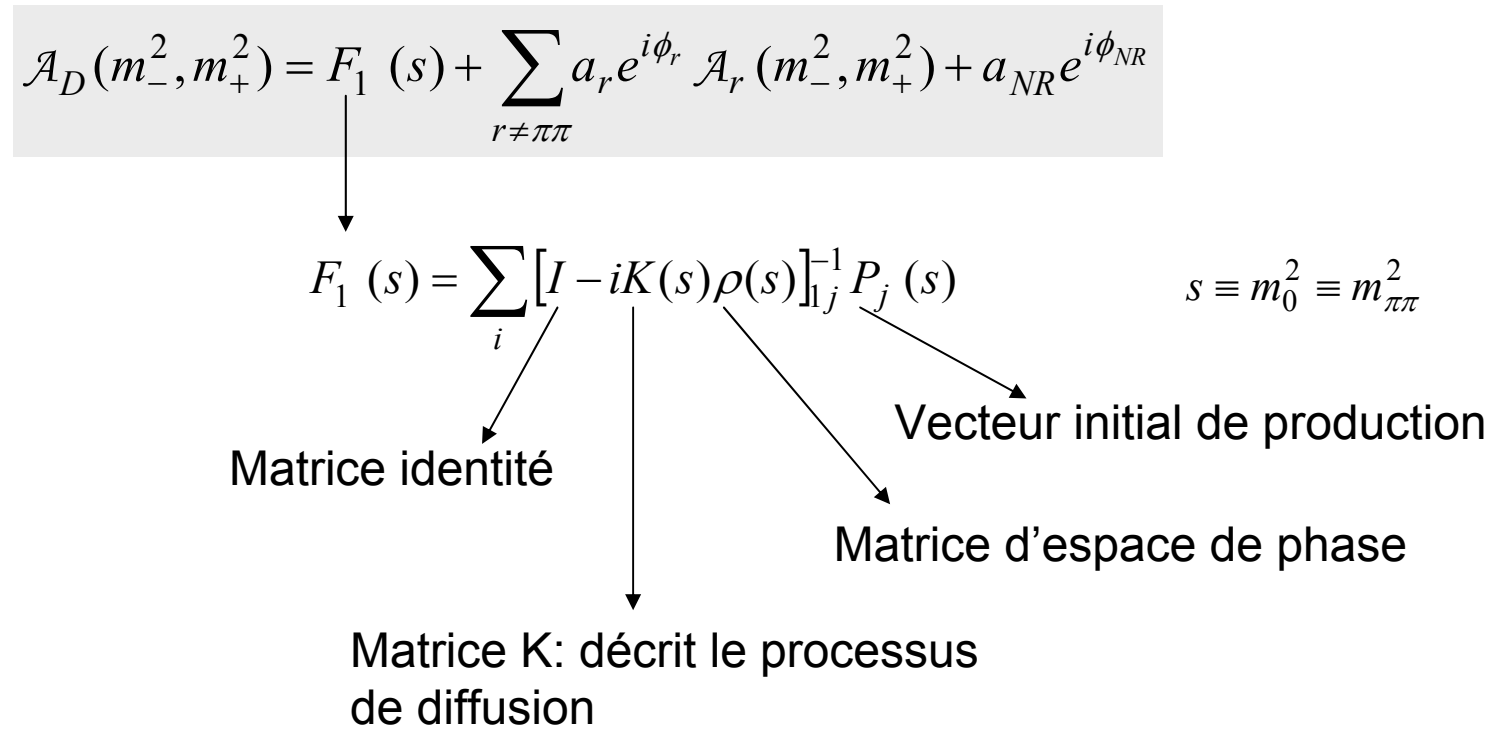
$$\mathcal{A}_r = F_D \times F_r \times T_r \times W_r$$

Barrière de Blatt-Weisskopf  
du vertex de désintégrations du D

Barrière de Blatt-Weisskopf  
du vertex de désintégrations  
de la résonance

Distribution angulaire  
de la désintégration  
(Tenseurs de Zemach ou  
formalisme d'hélicité)

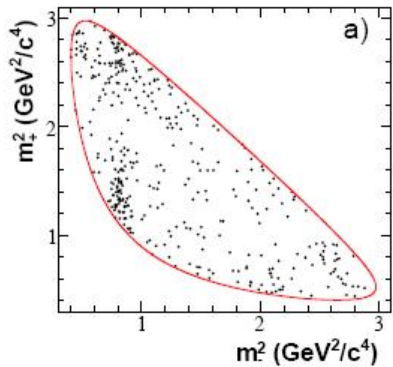
Propagateur de la résonance  
Breit-wigner relativiste:  
- Avec *largeur dépendant en masse*  
- Modèle de Gouranis-Sakurai pour  $\rho(770)$  et  $\rho(1450)$



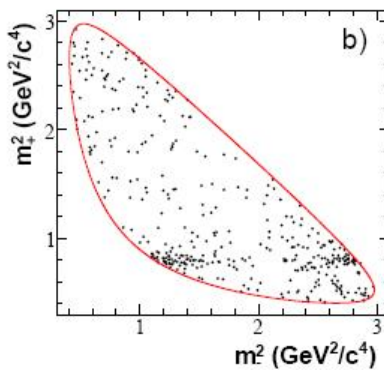
$$K_{ij}(s) = \left[ \sum_{\alpha} \frac{g_i^{(\alpha)} g_j^{(\alpha)}}{m_{\alpha}^2 - s} + f_{ij}^{sc} \frac{1 - s_0^{sc}}{s - s_0^{sc}} \right] \left[ \frac{(s - s_A m_{\pi}^2 / 2)(1 - s_{A0})}{s - s_{A0}} \right]$$

# Plans de Dalitz $K_s\pi^+\pi^-$

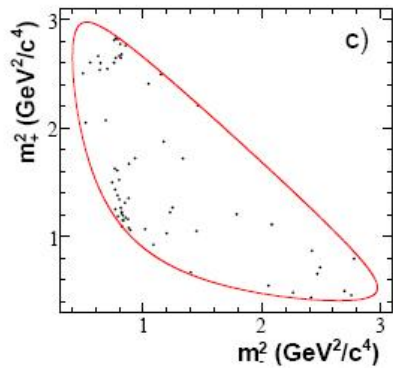
$B \rightarrow D^0 K$



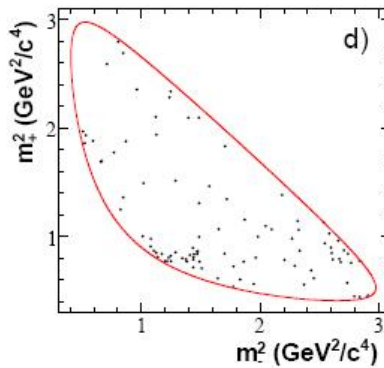
b)



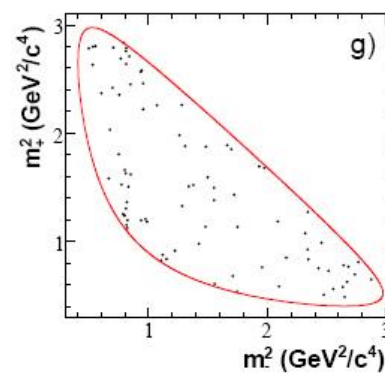
$B \rightarrow D^{*0}(D^0\pi^0)K$



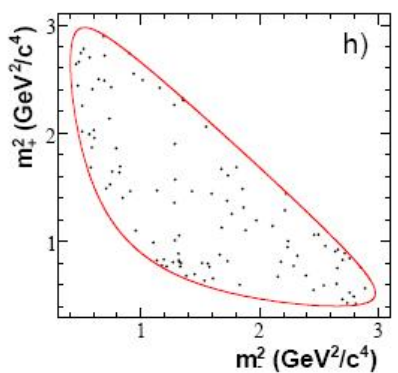
c)



$B \rightarrow D^{*0}(D^0\gamma)K$

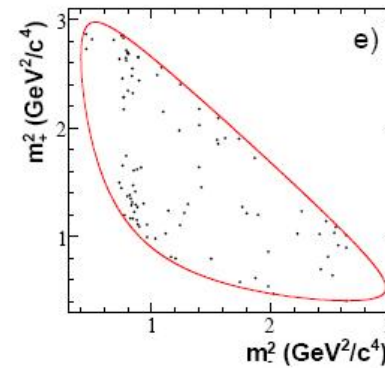


g)

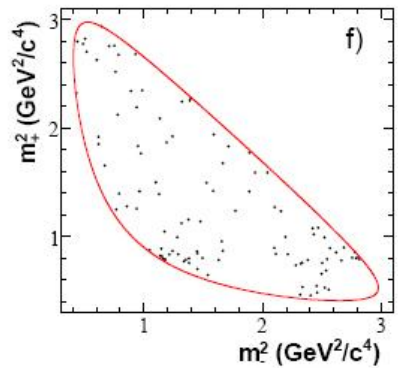


h)

$B \rightarrow D^0 K^*$

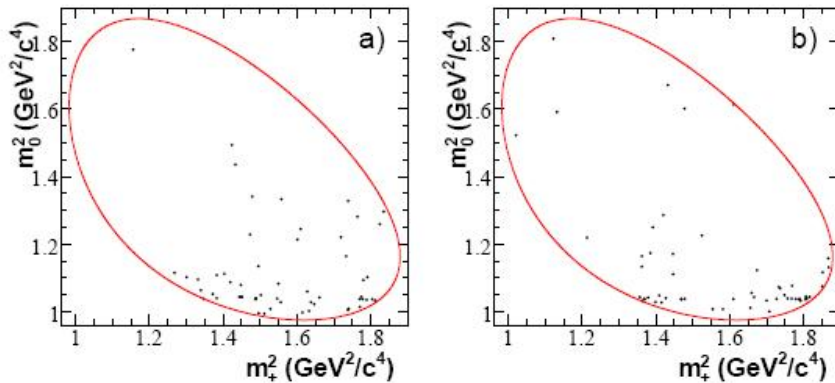


e)

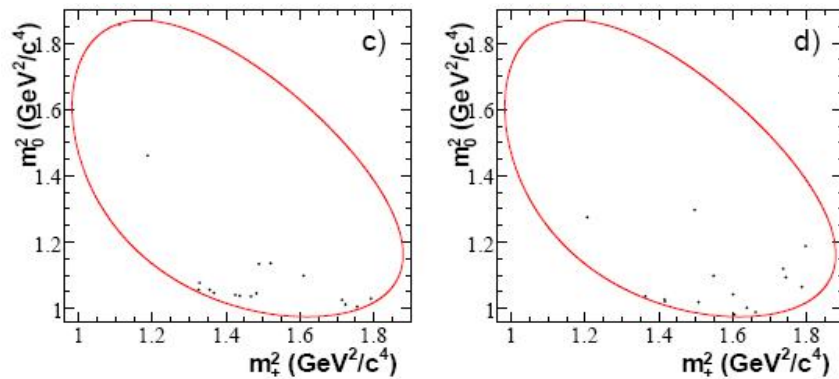


# Plans de Dalitz $K_s K^+ K^-$

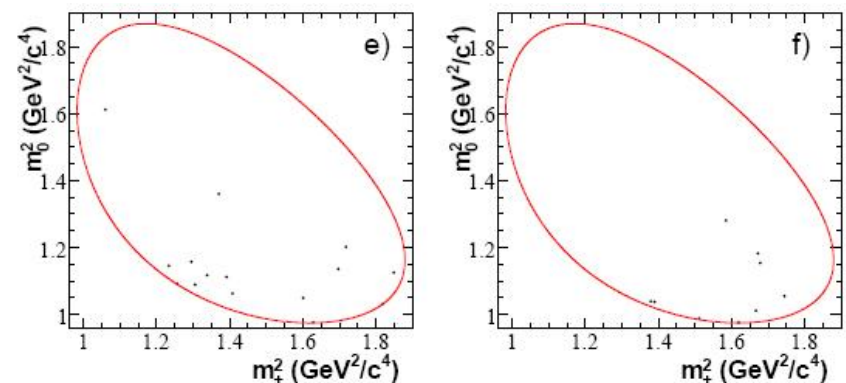
$B \rightarrow D^0 K$



$B \rightarrow D^{*0} (D^0 \pi^0) K$



$B \rightarrow D^{*0} (D^0 \gamma) K$



# Systématiques des modes GGSZ

## Systématiques du modèle Dalitz

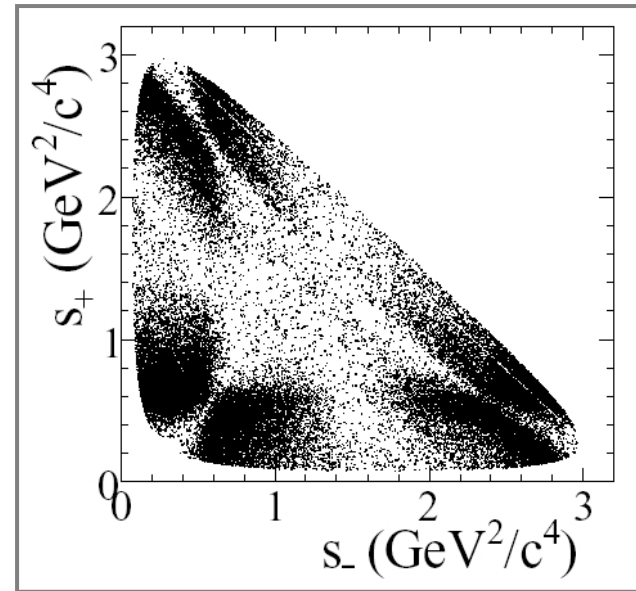
Source	$x_-$	$y_-$	$x_+$	$y_+$	$x_-^*$	$y_-^*$	$x_+^*$	$y_+^*$	$x_{s-}$	$y_{s-}$	$x_{s+}$	$y_{s+}$
Mass and width of Breit-Wigner's	0.001	0.001	0.001	0.002	0.001	0.002	0.001	0.003	0.003	0.001	0.002	0.002
$\pi\pi$ S-wave K-matrix solutions	0.003	0.012	0.003	0.001	0.003	0.007	0.002	0.009	0.001	0.001	0.013	0.003
$K\pi$ S-wave parameterization	0.001	0.001	0.002	0.004	0.001	0.003	0.001	0.003	0.005	0.001	0.004	0.002
Angular dependence	0.001	0.001	0.001	0.001	0.001	0.001	0.002	0.001	0.003	0.001	0.003	0.001
Blatt-Weisskopf radius	0.001	0.001	0.001	0.001	0.001	0.001	0.001	0.001	0.002	0.001	0.001	0.003
Add/remove resonances	0.001	0.001	0.001	0.001	0.001	0.002	0.001	0.002	0.001	0.001	0.001	0.002
Dalitz efficiency	0.006	0.004	0.008	0.001	0.002	0.004	0.002	0.003	0.008	0.001	0.008	0.004
Background Dalitz shape	0.003	0.002	0.004	0.001	0.001	0.001	0.001	0.001	0.004	0.001	0.004	0.002
Normalization and binning	0.001	0.001	0.001	0.002	0.001	0.001	0.001	0.002	0.002	0.001	0.003	0.001
Mistag rate	0.008	0.006	0.006	0.005	0.002	0.001	0.002	0.003	0.008	0.010	0.004	0.007
Dalitz amplitudes and phases	0.002	0.002	0.003	0.004	0.001	0.001	0.002	0.006	0.003	0.003	0.004	0.002
Total Dalitz model	0.011	0.015	0.011	0.008	0.004	0.009	0.005	0.012	0.014	0.011	0.018	0.010

## Systématiques expérimentales

Source	$x_-$	$y_-$	$x_+$	$y_+$	$x_-^*$	$y_-^*$	$x_+^*$	$y_+^*$	$x_{s-}$	$y_{s-}$	$x_{s+}$	$y_{s+}$
$m_{ES}$ , $\Delta E$ , $\mathcal{F}$ shapes	0.001	0.001	0.001	0.002	0.002	0.004	0.004	0.005	0.003	0.002	0.001	0.004
Real $D^0$ fractions	0.001	0.001	0.001	0.001	0.001	0.001	0.004	0.001	0.002	0.004	0.001	0.001
Charge-flavor correlation	0.002	0.002	0.001	0.001	0.002	0.002	0.002	0.001	0.001	0.002	0.001	0.001
Efficiency in the Dalitz plot	0.002	0.002	0.002	0.002	0.001	0.001	0.001	0.001	0.002	0.003	0.001	0.005
Background Dalitz shape	0.012	0.007	0.013	0.003	0.010	0.007	0.007	0.007	0.014	0.006	0.012	0.005
$B^- \rightarrow D^{*0} K^-$ cross-feed	—	—	—	—	0.003	0.002	0.007	0.001	—	—	—	—
$CP$ violation in $D\pi$ and $B\bar{B}$ bkg	0.001	0.001	0.001	0.001	0.005	0.001	0.001	0.004	0.006	0.002	0.003	0.001
Non- $K^*$ $B^- \rightarrow \bar{D}^0 K_S^0 \pi^-$ decays	—	—	—	—	—	—	—	—	0.035	0.058	0.025	0.045
Total experimental	0.014	0.007	0.014	0.006	0.014	0.009	0.014	0.010	0.039	0.058	0.028	0.051

## Méthode de Dalitz (GGSZ): mode $B^- \rightarrow [\pi^+ \pi^- \pi^0]_D K^-$

- Comparé à  $B^\pm \rightarrow [K_S \pi^+ \pi^-]_D K^\pm$ :
  - Structure de Dalitz différente (15 résonances)*
  - Plus de bruit de fond*
- Corrélations non linéaires avec  $(r_B, \delta_B, \gamma)$  et les coordonnées cartésiennes  
⇒ coordonnées polaires

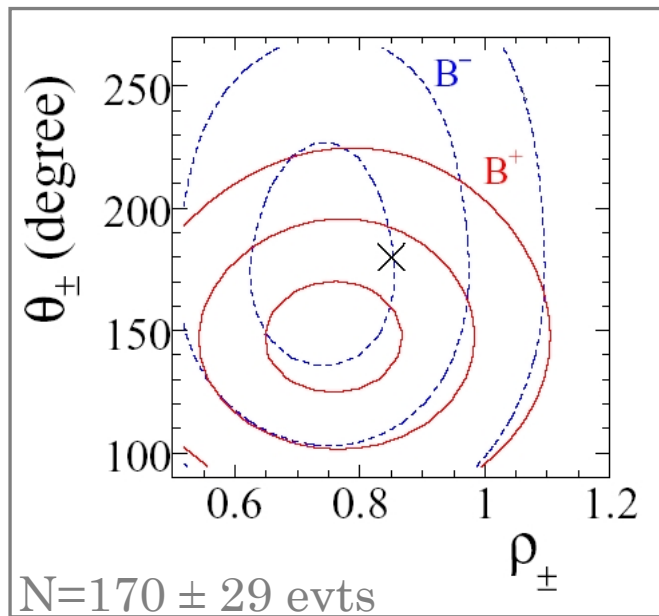


$$\rho_\pm \equiv \sqrt{(x_\pm - x^0)^2 + y_\pm^2} \quad \theta_\pm \equiv \arctan\left(\frac{y_\pm}{x_\pm - x^0}\right)$$

$$x^0 \equiv \int A_D(m_-, m_+) \bar{A}_D(m_-, m_+) dm^- dm^+ = 0.85$$

## Méthode de Dalitz (GGSZ): mode $B^- \rightarrow [\pi^+ \pi^- \pi^0]_D K^-$

Contours de L constant:  $1\sigma$ ,  $2\sigma$ ,  $3\sigma$



$$\begin{aligned}\rho_+ &= 0.75 \pm 0.11 \pm 0.06 \\ \rho_- &= 0.72 \pm 0.11 \pm 0.06 \\ \theta_+ &= (147 \pm 23 \pm 13)^\circ \\ \theta_- &= (173 \pm 42 \pm 19)^\circ\end{aligned}$$

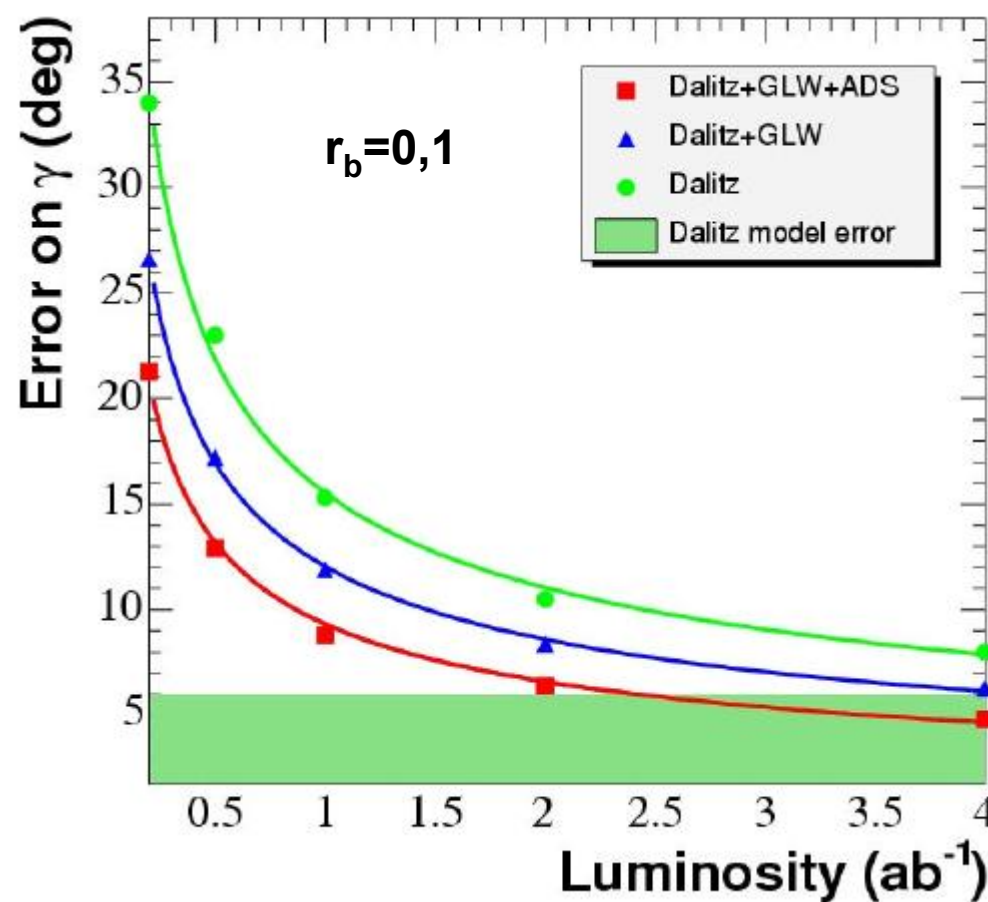
$$\rho_+/\rho_- \text{ corr.} = 14\%$$

Autres corrélations  $< 1\%$

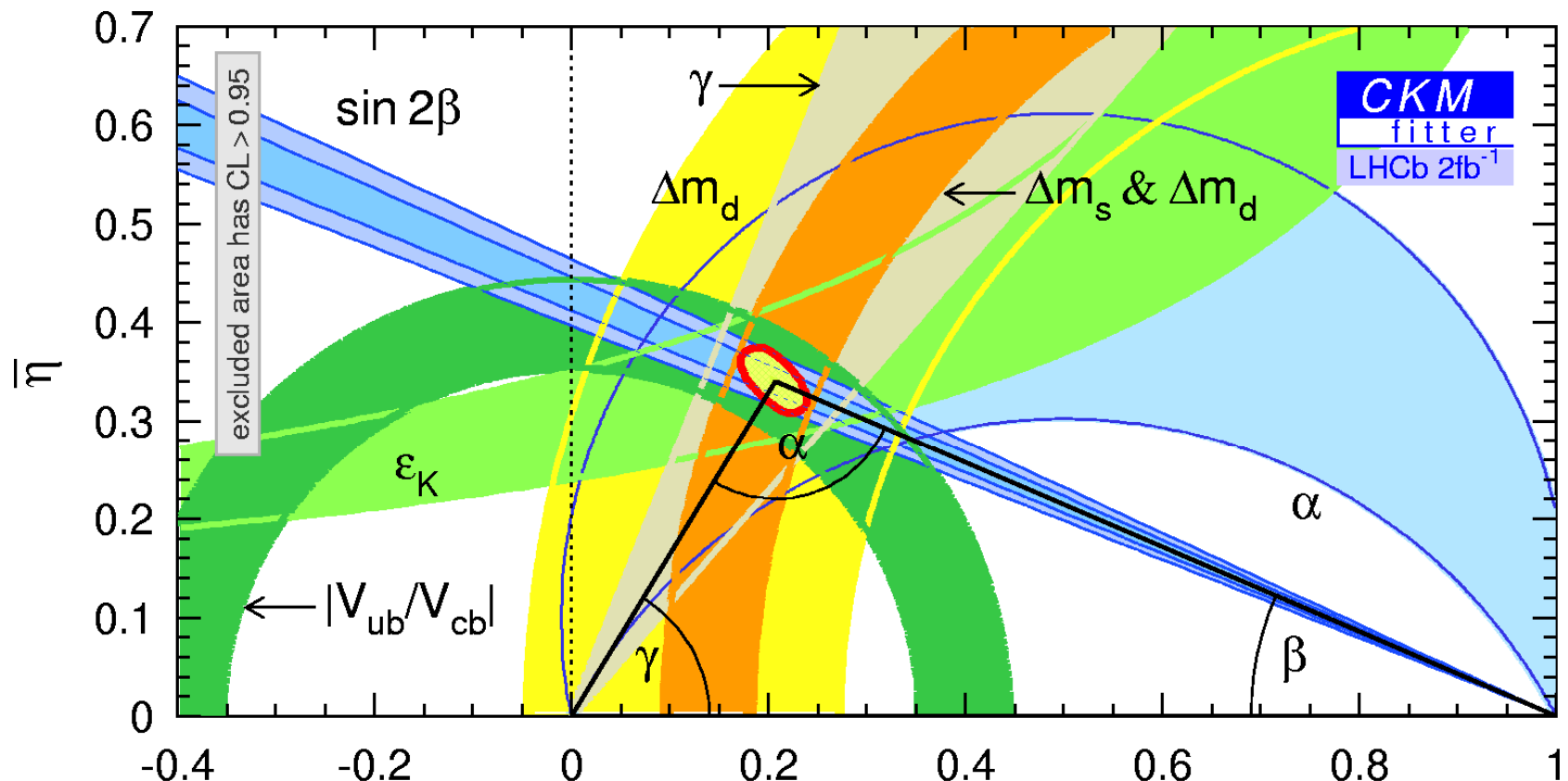
*Systématiques principalement du modèle Dalitz*

Erreurs sur:

- $\theta_\pm$ : trop grande de pour déterminer  $\gamma$
- $\rho_\pm$ : assez petite pour être utile



## Projections sur $\gamma$



Assumptions:  
LHCb TDR

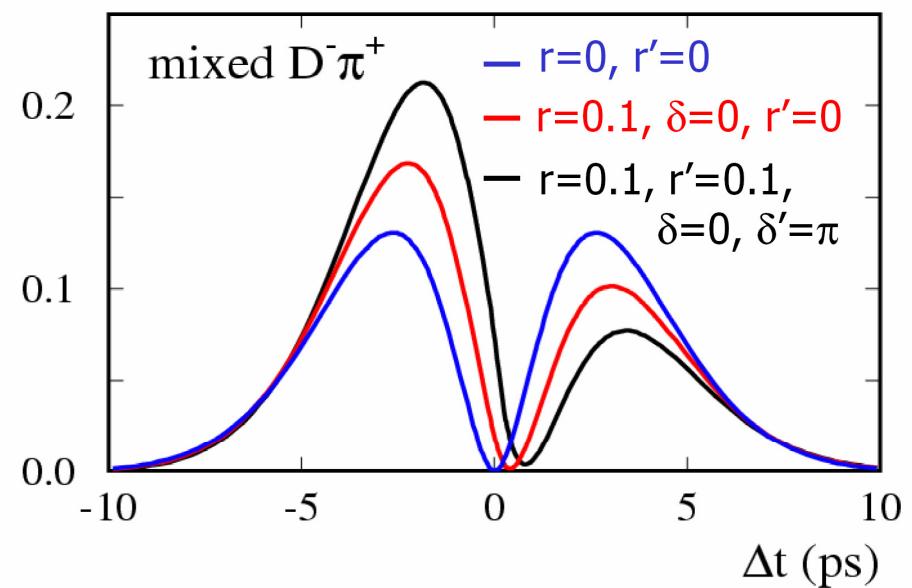
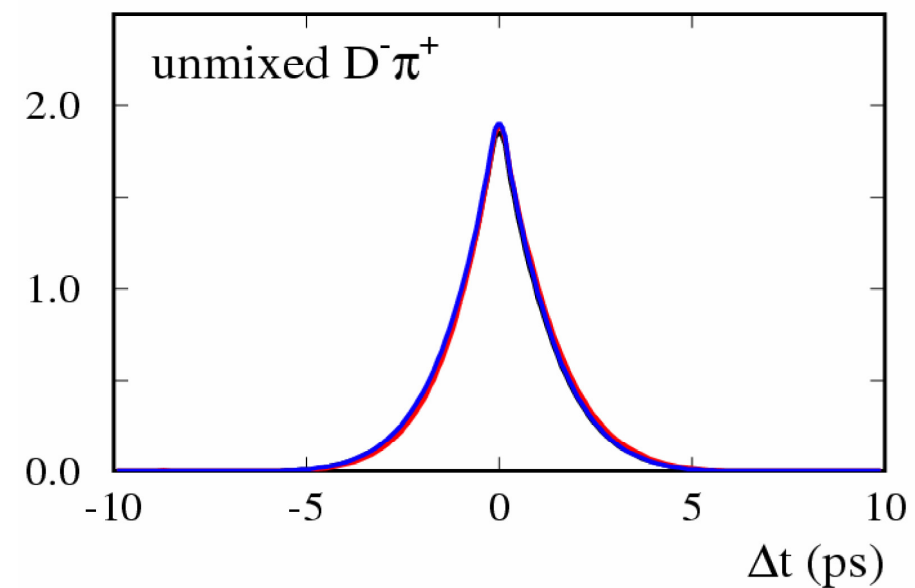
$\sigma(\Delta m_s) = 0.01$

$\sigma(\sin 2\beta) = 0.02$

$\sigma(\alpha) = 10^\circ$

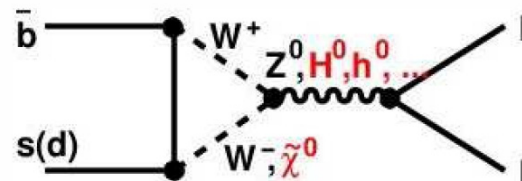
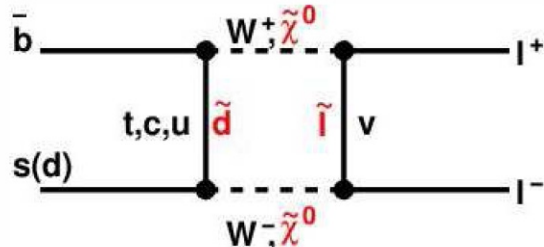
$\sigma(\gamma) = 5^\circ$

$\text{Sin}(2\beta+\gamma)$



# Physique du B au LHC: ATLAS et CMS

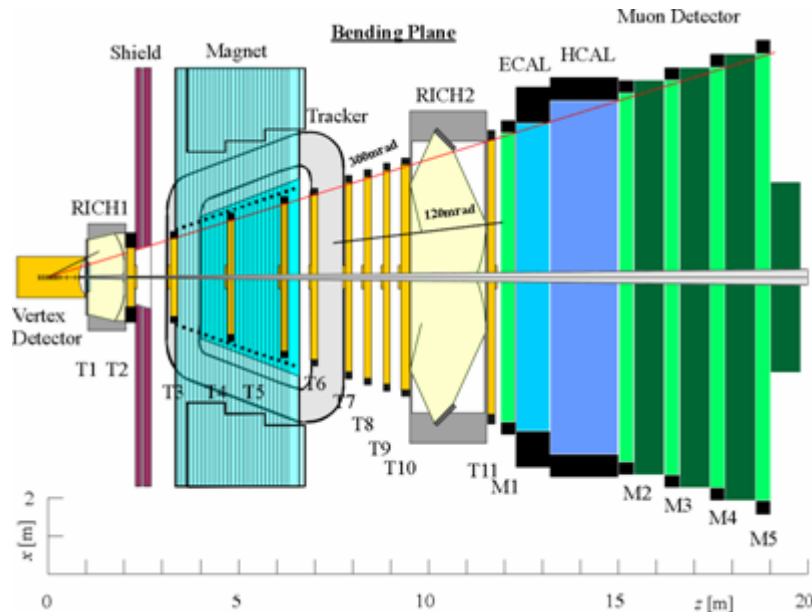
- Intérêts physique: recherches de déviations au Modèle Standard
  - Mesure de  $\phi_s = -2\lambda\eta = -2\chi$ :**  $B_s \rightarrow J/\psi \phi(\eta)$
  - Désintégrations rares:**  $B_d \rightarrow K^*\gamma, K^*\mu\mu, \mu\mu, B_s \rightarrow \phi\gamma, \phi\mu\mu, \gamma\mu\mu$
  - + mesure de  $\Delta m_s$ , physique du  $B_c$



- Moyens:
  - $\sqrt{s}=14 \text{ TeV}, \sigma(bb)=500 \mu\text{b}$
  - 1 période basse lumi (essentiel du programme de B), 1 Hte lumi (désintégrations rares)
  - Importance du trigger**
    - Ressources  $\sim 10\%$
    - Evts c et b contiennent essentiellement des particules de  $p_T$  faible  $\Rightarrow$  difficile
    - Basé des evts à muon simple et di-muons

# Physique du B au LHC: LHCb

- Dédiée à la physique du B
- Fonctionne même à  $\mathcal{L}_{\text{nominale}}$  du LHC (limiteur de luminosité):  $2 \times 10^{32} \text{ cm}^{-2}\text{s}^{-1}$
- Bonne acceptance
- Excellente résolution temporelle ( $\Delta m_s$ )
- Identification de particules par RICH
- Trigger dédié au B



- b, c,  $\tau$  factory ( $\Upsilon(5S)$  pas certain)
- Lumi attendue:  $10^{36} \text{cm}^{-2}\text{s}^{-1}$
- Défis techniques:
  - Courants  $>10\text{A}$ , bunch spacing  $<1\text{ns} \Leftrightarrow$  boucles de réaction très rapides
  - Contraintes thermiques et vide, puissance RF
  - Taille verticale des faisceaux ( $1\mu\text{m}$ ): paquets très courts, croisement à angle
  - Garder un bruit de fond raisonnable  $\Leftrightarrow$  dose intégrée
- Arguments physiques: complémentarité avec LHC
  - Scénario 1: LHC découvre NP  $\Leftrightarrow$  métrologie du secteur de la saveur
  - Scénario 2: LHC ne trouve rien  $\Leftrightarrow$  exploration indirecte des échelles de masse + élevées



# Super Flavor Factory

$\Delta m_K$	$\epsilon_K$	$\epsilon'/\epsilon_K$	$B(K_L \rightarrow \pi^0 \nu \bar{\nu})$	$B(K^+ \rightarrow \pi^+ \nu \bar{\nu})$	$B(K^+ \rightarrow l^+ \nu)$
$\Delta m_d$	$A_{SL}(B_d)$	$S(B_d \rightarrow J/\psi K_S)$	$S(B_d \rightarrow \phi K_S)$		
$\alpha(B \rightarrow \pi \pi, \rho \pi, \rho \rho)$	$\gamma(B \rightarrow D K)$			<i>CKM fits</i>	
$\Delta m_s$	$A_{SL}(B_s)$	$S(B_s \rightarrow J/\psi \phi)$	$S(B_s \rightarrow \phi \phi)$		
$B(b \rightarrow s \gamma)$	$A_{CP}(b \rightarrow s \gamma)$	$S(B^0 \rightarrow K_S \pi^0 \gamma)$	$S(B_s \rightarrow \phi \gamma)$		
$B(b \rightarrow d \gamma)$	$A_{CP}(b \rightarrow d \gamma)$	$A_{CP}(b \rightarrow (d+s) \gamma)$			
$B(b \rightarrow s l^+ l^-)$	$B(b \rightarrow d l^+ l^-)$	$A_{FB}(b \rightarrow s l^+ l^-)$	$B(b \rightarrow s \nu \bar{\nu})$		
$B(B_s \rightarrow l^+ l^-)$	$B(B_d \rightarrow l^+ l^-)$	$B(B^+ \rightarrow l^+ \nu)$			
$B(\mu \rightarrow e \gamma)$	$B(\mu \rightarrow e^+ e^- e^+)$	$(g-2)_\mu$	$\mu$	<i>EDM</i>	
$B(\tau \rightarrow \mu \gamma)$	$B(\tau \rightarrow e \gamma)$	$B(\tau^+ \rightarrow l^+ l^- l^+)$	$\tau$	<i>CPV</i>	$\tau$
$B(D_{(s)}^+ \rightarrow l^+ \nu)$	$x_D$	$y_D$	<i>charm CPV</i>		

LHCb

Observables sensibles  
à la NP

SFF

$n_K$	$\epsilon_K$	$\epsilon'/\epsilon_K$	$B(K_L \rightarrow \pi^0 \nu \bar{\nu})$	$B(K^+ \rightarrow \pi^+ \nu \bar{\nu})$	$B(K^+ \rightarrow l^+ \nu)$
$\Delta m_d$	$A_{SL}(B_d)$	$S(B_d \rightarrow J/\psi K_S)$	$S(B_d \rightarrow \phi K_S)$		
$\alpha(B \rightarrow \pi \pi, \rho \pi, \rho \rho)$	$\gamma(B \rightarrow D K)$			<i>CKM fits</i>	
$\Delta m_s$	$A_{SL}(B_s)$	$S(B_s \rightarrow J/\psi \phi)$	$S(B_s \rightarrow \phi \phi)$		
$B(b \rightarrow s \gamma)$	$A_{CP}(b \rightarrow s \gamma)$	$S(B^0 \rightarrow K_S \pi^0 \gamma)$	$S(B_s \rightarrow \phi \gamma)$		
$B(b \rightarrow d \gamma)$	$A_{CP}(b \rightarrow d \gamma)$	$A_{CP}(b \rightarrow (d+s) \gamma)$	$S(B^0 \rightarrow \rho^0 \gamma)$		
$B(b \rightarrow s l^+ l^-)$	$B(b \rightarrow d l^+ l^-)$	$A_{FB}(b \rightarrow s l^+ l^-)$	$B(b \rightarrow s \nu \bar{\nu})$		
$B(B_s \rightarrow l^+ l^-)$	$B(B_d \rightarrow l^+ l^-)$	$B(B^+ \rightarrow l^+ \nu)$			
$B(\mu \rightarrow e \gamma)$	$B(\mu \rightarrow e^+ e^- e^+)$	$(g-2)_\mu$	$\mu$	<i>EDM</i>	
$B(\tau \rightarrow \mu \gamma)$	$B(\tau \rightarrow e \gamma)$	$B(\tau^+ \rightarrow l^+ l^- l^+)$	$\tau$	<i>CPV</i>	$\tau$
$B(D_{(s)}^+ \rightarrow l^+ \nu)$	$x_D$	$y_D$	<i>charm CPV</i>		

# LHCb/Super Flavor Factory

